UNIVERSIDADE ESTADUAL DE CAMPINAS (UNICAMP)

INSTITUTO DE FÍSICA GLEB WATAGHIN

FABRICAÇÃO DE FITAS METÁLICAS AMORFAS E ESTUDO DE SUA ESTABILIDADE

Autor: Momotaro Imaizumi

ORIENTADORA: REIKO SATO TURTELLI

CENTRA.

Tese apresentada no Instituto de Fisica "Gleb Wataghin",

para obtenção do título de mestre em Fisica

UNICAMP - Campinas

Este trabalho teve o apoio financeiro da FINEP (Financiadora de Estudos e Projetos S/A), do CNPq (Conselho Nacional de Desenvolvimento Científico e Tecnológico) e CAPES (Coordenação de Aperfeiçoamento de Pessoal de Nível Superior).

"In Memorium"

Ao meu pai, Tetsuo Imaizumi

A minha mãe

Iku Okabe

As minhas irmãs Maria T.I. Scherrer e Ruth M.

Imaizumi

Ao meu cunhado

Prof. Dr. Klauss Scherrer

e a minha sobrinha.

Ayalla M. Scherrer

Agradeço à minha orientadora Profa.Dra. Reiko Sato Turtelli pelo apoio e dedicação no desenvolvimento desse trabalho. Prof.Dr. José Carlos V. Mattos, Prof.Dr. José G.P. Ramos
Prof.Dr. Bernardo Laks pelo apoio dado no desenvolvimento
desse trabalho.

Agradeço aos coordenadores da Pos Graduação,

xas Temperaturas, Prof.Dr. Daltro G. Pinatti, Prof.Dr. Oscar P. Lima e Prof.Dr. Sergio Gama, pelo apoio no desenvolvimento desse trabalho.

Agradeço aos Coordenadores do Laboratório de Bai-

AGRADECIMENTOS

- Aos Prof.Dr. Nelson Onuchiquic e ao Prof.Dr. Daltro G.
- Pinatti pelos incentivos na escolha da carreira acadêmica.
- Ao Prof.Dr. Bernardo Laks pelas sugestões valiosas ao presente trabalho.
- " Ao Prof.Dr. Mario A. Tenan pelas discussões e sugestões valiosas ao presente trabalho.
- Ao Prof.Dr. Guillermo G.O. Cabrera pelas sugestões e informações importantes à respeito de Magnetismo que contribuiram muito para o presente trabalho.
- A Profa.Dra. Natālia Boboshko que me incentivou a retornar à carreira acadēmica.
- A Profa.Dra. Iris Torriani e aos colegas José Marcos Sasaki e Lucilia Labaki pelas medidas de raio X das amostras
- Ao Prof.Dr. Osvaldo Luiz Alves e a técnica Cássia Regina Rigoleto do Instituto de Química da Unicamp pelas medidas das temperaturas de Cristalização das amostras.
- Aos Eng. Alexius Masiukewycz e Flavio Lucietto pelas sugestões na montagem da maquina "Melt Spinner".
- Ao Walter Antônio Valongo, técnico do Laboratório de Baixas Temperaturas, pela colaboração na confecção de peças e na montagem da máquina "Melt Spinner".
- Ao Sr. Vanderley Natalino Martinez e aos demais técnicos da "Oficina Mecânica" central pela colaboração nas confecções de peças da máquina "Melt Spinner".
- Ao Sr. Cicero Martins e José Carlos Finezi da "Oficina de Vidros" pela confecção das peças de quartzo que foram usado nesse trabalho.

- Ao Silvano Lopes Gomes pela elaboração dos desenhos do presente trabalho.
- A Rosa Yukiko Kawaguchi pela datilografia do presente tex-
- Aos colegas Hamilton Bicalho, Angel Vilcher, Rogério Mota e Antônio Carlos Franco pela colaboração e sugestões.
- Aos colegas José R. Mahon, Newton I. Shibuya, Suhaila, Alfredo Peterlevitz, Roseclea Lopez, Alexandre A. Pohl, Fernando Ikawa pelo incentivo durante a elaboração desse trabalho.
- Aos amigos Neide Aocki, Elizabete Aocki, Cristina Lucietto e Pericles Amorim Filho pelo incentivo durante o desenvolvimento do trabalho.
- Ao Eng. Lúcio Salgado e à Dow Corning por fornecerem materiais que auxiliaram o desenvolvimento desse trabalho.
- À todos técnicos do Laboratório de Baixas Temperaturas e Criogenia pela colaborações direta e indireta nesse trabalho.

Foram feitas medidas de "after effect" da permeabi lidade inicial magnética Δμ/μ em função da temperatura, entre as temperaturas ambiente e de Curie para estudar a estabilida de das fitas ferromagnéticas amorfas que depende das condições da sua confecção. Para isso foi construído um aparelho para produzir fitas metálicas amorfas pelo método de resfriamento răpido da fase liquida ("Melt Spinner") e um forno que permite medidas desde à temperatura ambiente até 800°C. Foram produzidas duas séries de fitas amorfas de Fe₄₀Ni₄₀P₁₄B₆ de espe<u>s</u> suras diferentes, sendo que as da primeira série foram produzidas com a variação da pressão de ejeção e as da segunda variando-se a velocidade tangencial da roda e mantendo-se os ou tros parametros constantes. As fitas foram analisadas por difratometria de raio-X para assegurar que as amostras estudadas possuem estruturas amorfas e foram determinadas as temperaturas de cristalização T_x pelo método DSC. Os resultados mostram que a estabilidade das fitas amorfas de Fe₄₀Ni₄₀P₁₄B₆ é influenci<u>a</u> da pelas suas condições de fabricação e são discutidos baseados nas medidas preliminares obtidas com materiais semelhantes.

ABSTRACT

The measurements of the after effect of the initial magnetic permeability, $\frac{\Delta \mu}{\mu}$, on amorphous ferromagnetic ribbons were made in the range from environment to Curie temperatures of the ribbons in an oven that was built for this purpose that can reach the temperature of 800° C. To get these ribbons a melt spinner machine was built. It was based on the rapidly liquid phase cooling.

In the development of this work, two sets of ${\rm Fe}_{40}{\rm ^{Ni}}_{40}{\rm ^{P}}_{14}{\rm ^{B}}_{6}$ amorphous ribbons were produced, the first set changing the ejection pressure and in the second set one changing the tangencial speed of the wheel and keeping the parameters of the melt spinner machine these ribbons were analysed by X ray diffraction to assert their amorphous structure and their crystalization temperatures were measured by the DSC method. The results have shown that the stability of the ${\rm Fe}_{40}{\rm ^{Ni}}_{40}{\rm ^{P}}_{14}{\rm ^{B}}_{6}$ amorphous ribbons depends on their production conditions and these results have been discussed based on other preliminary measures in similar materials.

INDICE

I. Introdução

Capítulo II. Fabricação das Fitas Metálicas Amorfas

II.1. Facilidade de Formação de uma Fita Amorfa, Estabilidade

e Cristalização

II.2. Técnicas de Preparação de Ligas Metálicas Amorfas

II:3. Propriedades e Aplicações dos Vidros Metálicos

II.4. Produção de Fitas Amorfas de Fe₄₀Ni₄₀P₁₄B₆ pelo Método "Melt Spinning"

II.4.1. Construção da Māquina "Melt Spinner"

II.4.2. Obtenção de Fitas Amorfas

II.5. Resultados e Discussão

Capítulo III. Estudo da Estabilidade das Ligas Ferromagnéticas Amorfas por Meio do "After Effect" da Per-

meabilidade Magnética

III.1. Introdução
III.2. "After-effect" da Permeabilidade Magnética ou Desacomo
dação

III.3. Modelo de "After Effect" da Permeabilidade Magnética em Sistemas Amorfos

III.4. Experiência

III.5. Resultados e Discussão

Capitulo IV. Conclusão Bibliografia

I. Introdução

Os sólidos amorfos, também conhecidos como não cris talinos, são definidos como sólidos que apresentam estrutura atômica ou molecular não periódica. Esses sólidos não apresentam ordem espacial de longo alcance, permitindo que a sua caracterização seja feita por modificação de graus de ordem curto alcance. Estas variações podem ser — tanto de natureza estrutu ral (relaxamento) como de natureza composicional (processos difusão atômicos) e podem ser provocadas pelos tratamentos térmicos durante o intervalo em que o material ainda permaneça no estado amorfo. Deve-se no entanto lembrar que o estado amorfo não coin cide com o estado termodinâmico estável de um sólido cristalino, ·portanto para temperaturas muito abaixo da temperatura de cristalização os sistemas amorfos podem apresentar característica de metaestabilidade. Logo a estrutura dos amorfos se transforma através dos processos ativados e tende a atingir um estado energeticamente mais favoravel através do relaxamento estrutu-

magnaturas:magroscopicas:missicomos:::nauczo!:as:mas:bropriecemini

após a desmagnetização, Δμ/μ ("after effect" da permeabilidade magnética ou desacomodação) pode ser considerado um meio útil para esse objetivo. De fato, o "after effect" está intimamente ligado a desordem estrutural da fase amorfa. Cada decaimento da permeabilidade após a desmagnetização é interpretado como a so-

breposição de muitos processos elementares. Nos materiais ferromagnéticos cristalinos o "after effect" está relacionado com a presença de pares atômicos e o desordenamento é caracterizado pelas energias de ativação bem definidas. Nas ligas amorfas o "after-effect" magnético são caracterizados por uma larga distribuição de energia de ativação e podem ser observados em qualquer temperatura entre 4K e a temperatura de Curie do material $^{(1)}$. A intensidade da relaxação da permeabilidade magnética é dependente da temperatura, portanto estudando o comportamento do "after effect" $\frac{\Delta\mu}{\mu}$ em função da temperatura podemos obter uma forma aproximada da distribuição de energia de ativação $^{(2)}$. Tais resultados tem sidos interpretados em termos de alguns modelos $^{(3,4)}$ cujo ponto comum é a consideração dos efeitos intrînsecos da desordem local sobre o processo de ordenamento microscópico que dão origem ao efeito "after effect".

Resultados anteriores (1) têm mostrado que a intensidade do "after effect" medida nas ligas amorfas para uma dada temperatura é fortemente dependente do grau de desordem estrutural na amostra. Um diferente estágio no estado amorfo também pode ser obtido pela variação do resfriamento, como pelo tratamento térmico, relaxando o material.

O presente trabalho tem como objetivo estudar a influência das condições de fabricação de fitas ferromagnéticas amorfas na sua estabilidade, através das medidas de "after effect" da permeabilidade magnética. Para isso, construímos uma máquina para produzir fitas ferromagnéticas amorfas pelo método de resfriamento rápido da fase líquida ("melt spinning") e um forno resistivo que permite efetuar medidas desde a temperatura ambiente até à temperatura de 800°C. Foram também feitas

medidas de DSC para determinar as temperaturas de cristalização das fitas (T_{χ}) e de raio X para assegurar que o material se encontra no estado amorfo. Observamos que a intensidade de "after effect", $T_{\rm C}$ (Curie) e T_{χ} dependem das condições de fabricação das fitas. Os resultados obtidos são auto-consistentes e concordam razoavelmente com os outros resultados encontrados na literatura.

Para a apresentação desse trabalho, primeiramente (Capítulo II), fazemos algumas considerações sobre a formação de ligas metálicas amorfas e sobre várias técnicas de produção de materiais amorfos, dando ênfase à técnica aqui utiliza da ("Melt Spinning"), inclusive introduzindo um modelo que relaciona as dimensões das fitas com as condições de preparação (5,6), Ainda nesse capítulo apresentamos os resultados obtidos para a amostra Fe₄₀Ni₄₀P₁₄B₆ e comparamos com o modelo acima proposto.

No capítulo III foi dada uma ideia básica sobre a relaxação magnética. Apresentamos a técnica de medida de $\frac{\Delta \mu}{\mu}$ e o modelo de Allia e Vinai para o fenômeno de "after effect" da permeabilidade magnética. Apresentamos os resultados obtidos e discutimos o efeito da relaxação estrutural no fenômeno magnético aqui estudado.

- II. Pabricação de Fitas Metálicas Amorfas
- II.l. Facilidade de Formação de uma Fita Amorfa, Estabilidade e Cristalização

A formação e a estabilidade das ligas amorfas são aspectos importantes sob o ponto de vista tecnológico. Verificou-se, experimentalmente, que composições mais favoráveis para formação de ligas amorfas, isto é, aquelas que requerem menor velocidade de resfriamento da fase líquida, são as que estão próximo ao eutético profundo do diagrama de fase. A facilidade de formação de ligas amorfas aumenta com o eutético profundo do relativo, porque, esse fenômeno provoca uma depressão na temperatura de fusão, tornando mais estável a fase líquida dessas ligas.

É preciso notar, no entanto, que não existe, a priori uma relacião direta entre a facilidade de formação de uma determinada liga amorfa e a sua resultante estabilidade térmica nos processos de relaxamento estrutural e de cristalização. São consideradas essencialmente três aproximações que explicam a estabilidade de uma determinada liga amorfa:

A primeira é puramente topológica. Neste caso, tende a demonstrar que uma estrutura de esferas rígidas de dois ou mais raios diferentes assume a sua distribuição compacta mais estável se a relação entre o número de esferas maiores e menores for 80/20 (esferas maiores correspondem aos metais de transição e as menores os metaloides). (7-9) Este resultado, de fato, está de acordo com os resultados experimentais que os eutéticos profundos dos sistemas metais-metaloides apresentam o valor da relação entre o metal e metaloide 80/20.

A segunda aproximação é aquela que considera mais detalhadamente o efeito das ligações químicas interatômicas sobre a estabilidade do sistema amorfo. $^{(10)}$

A terceira discute a estabilidade de um dado metal amorfo em função da ocupação dos estados eletrônicos que dependem da estrutura e componentes do sistema. A energia dos elétrons de condução de uma liga metálica é menor no estado líqui do que no correspondente estado cristalino, por isso o processo de cristalização a longo alcance é mais difícil.

Um exemplo de diagrama de fase de equilibrio para liga binária metal-metalóide (Fe-B) é apresentado na figura (1). A barra horizontal traçada no diagrama de fase indica o intervalo de composição química onde ocorre a formação dos vidros metálicos para métodos com taxas resfriamento até 10⁶K/s.

A viscosidade dos vidros metálicos é fortemente de pendente da temperatura e apresenta uma variação contínua e crescente desde o seu valor na temperatura de fusão " T_f " até o seu valor na temperatura de transição de vidro " T_g ". A tempera tura T_g indica a solidificação dos vidros metálicos. O comportamento acima descrito da viscosidade dos vidros metálicos ocorre durante o processo de solidificação desses materiais. Esse com portamento é dado pela variação contínua que atinge o valor máximo próximo a 10^{13} poise nas vizinhanças da temperatura T_g . (12)

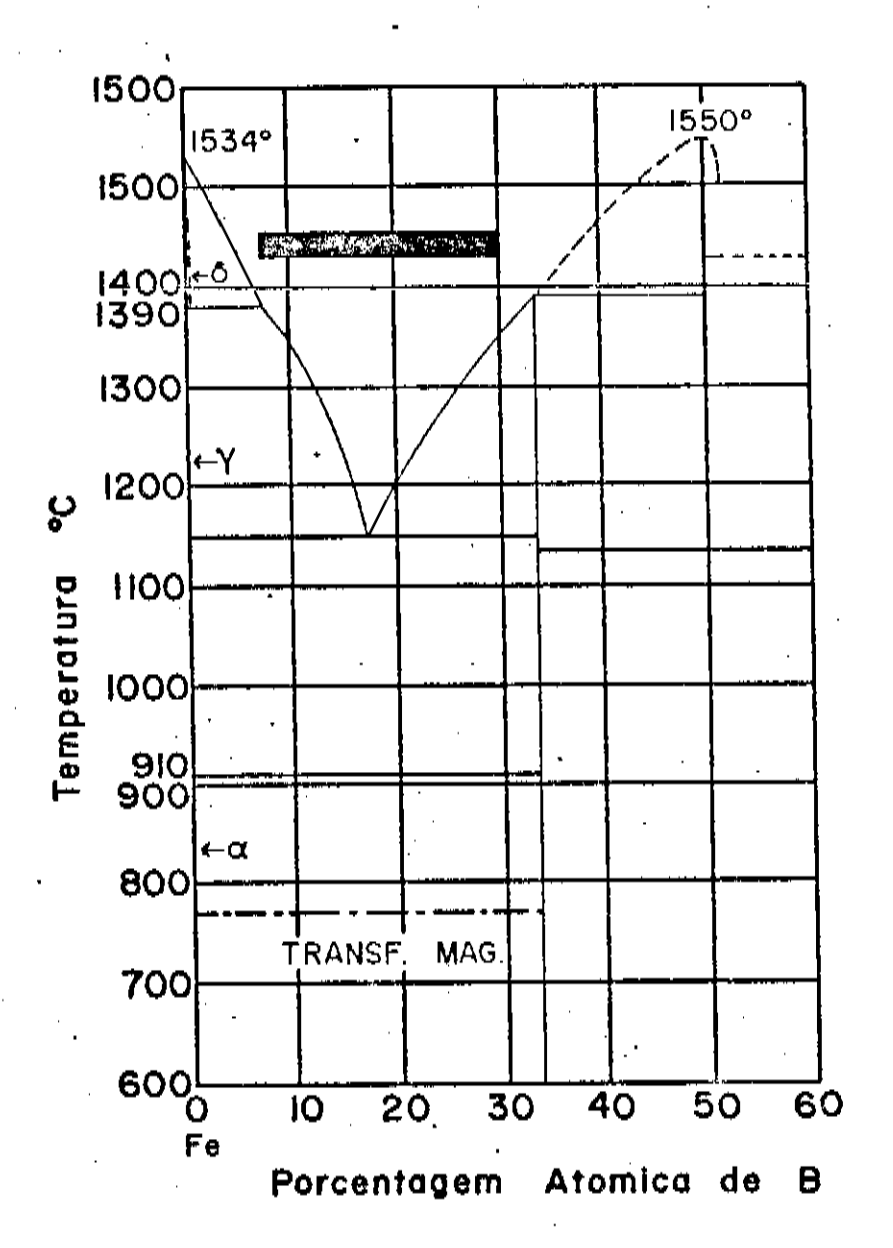


Figura 1: Diagrama de fase da liga Fe-B. (11)

por outro lado, no processo de solidificação com formação de cristais, a viscosidade varia bruscamente e atinge valores próximos \tilde{a}_1^{15} poise nas vizinhanças da temperatura T_{f} . (12)

Esses comportamentos diferenciados da viscosidade

dos sólidos amorfos e cristalinos são mostrados na figura 2.

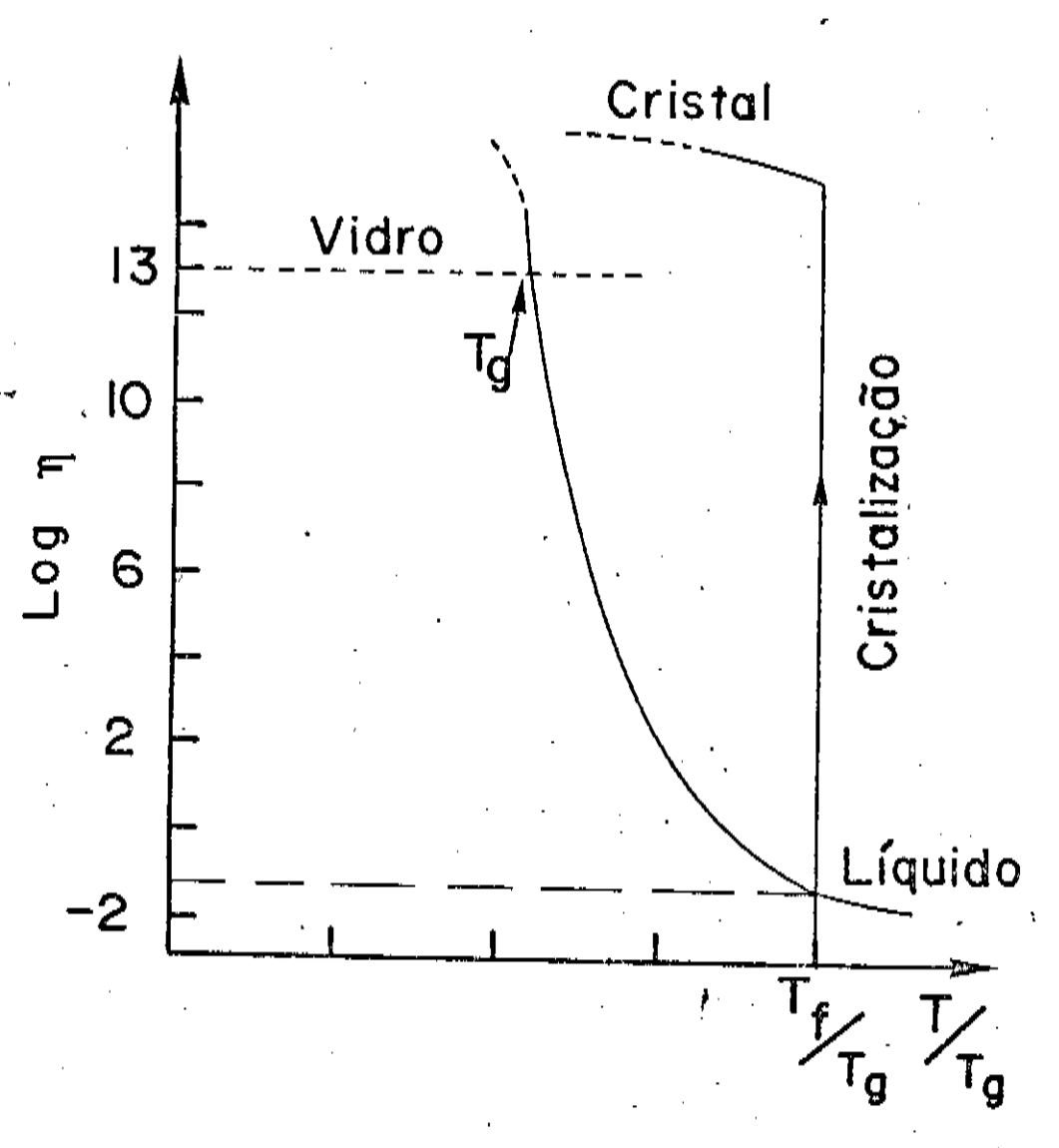


Figura 2: Variação da viscosidade n em relação a temperatura para sólidos cristalinos e amorfos.

Além do comportamento da viscosidade com a tempera tura, a temperatura T_g é um parâmetro importante na caracterização dos vidros metálicos. O valor de T_g é supostamente dependente da relação η/G , onde η representa a viscosidade e G a tensão de cisalhamento do material. Essa relação é conhecida como tempo de relaxação do material. (13) Esse tempo é comparável ao tempo medido experimentalmente que é necessário para con

gelar um liquido. Nessas condições esse liquido congelado comporta-se como um sólido. Observa-se que o valor de $\mathbf{T}_{\mathbf{q}}$ aumenta para ligas metálicas que tem viscosidade mais estável em relação as variações de temperatura no processo de solidificação com transformação para o estado amorfo. Observa-se também a transição ocorrida na formação dos vidros metálicos não transição de fase termodinâmica, mas uma transformação cinética de mudanças estruturais. (14) Essa transformação não permite ao material atingir o equilíbrio nas condições normais. Nessas con dições o valor da relação ${ t T_q}/{ t T_f}$ de uma determinada liga serve de indicador do grau de facilidade que essa liga tem de se tor nar amorfa. A facilidade de se tornar amorfa ocorre com ligas o valor da relação T_q/T_f é aproximadamente de para as quais 75%. Nessas condições a taxa de resfriamento torna-se adequada e o tempo de solidificação é muito pequeno. Essa magnitude tempo de solidificação permite a inibição de formação de cristais por nucleação e crescimento. A cristalização é um processo termicamente ativado de nucleação e crescimento que pode ser re presentado pela simples lei de Arrhenius. Através de cálculos baseados na cinética de cristalização é possível estimar qualitativamente a possibilidade de formação dos vidros me tálicos em função de taxas mínimas de resfriamento R_{C} . Essas ta xas permitem a existência de estados amorfos pressupondo que vitrificação de qualquer material seja possível desde que a taxa de resfriamento seja suficiente em cada caso.

A cristalização, para uma dada temperatura, inicia-se com a formação de um núcleo estável e com o seu crescimento para formar o cristal. Como a nucleação ocorre em uma fase pura e a probabilidade de sua ocorrência é a mesma em qualquer parte dessa fase, temos então um processo de nucleação homogênea.

A formação de um núcleo de cristal em uma fase 1<u>1</u> quida envolve a transformação de fase líquida-solida com a formação de interface solida-líquida. Um dado sistema poderā tornar-se completamente amorfo se a fração de cristais não for superior à 10⁻⁶: Esse valor refere-se ao critério adotado. (12)

Para analisar o comportamento dos sólidos durante o processo de solidificação no estado amorfo, usam-se as curvas de transformação, tempo e temperatura (12), (TTT) que é característica de cada liga.

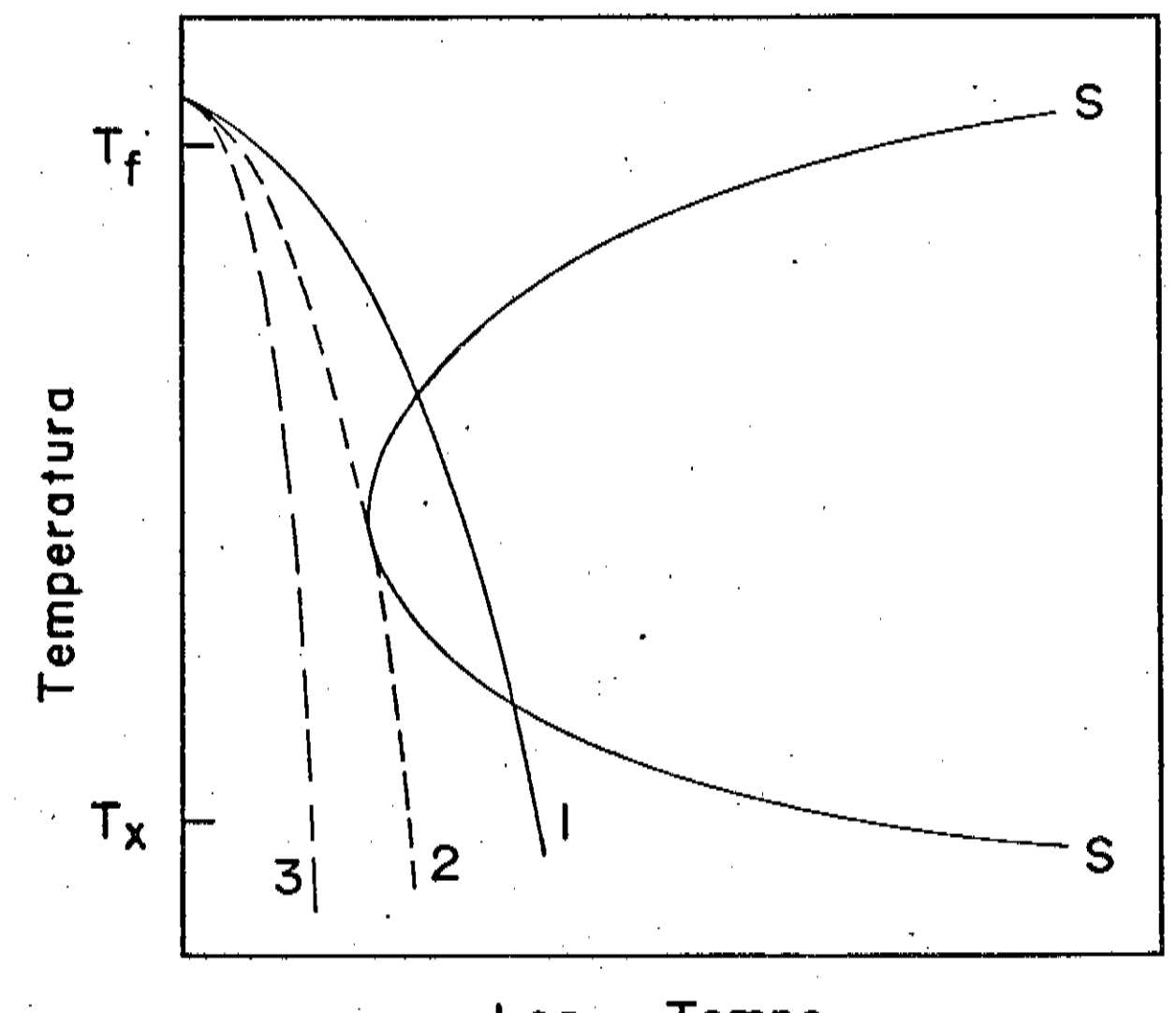
Essa curva (TTT) é mostrada na figura 3, pela cur va SS. Nessa figura, a linha pontilhada (2) indica a velocida de crítica com que o líquido deve ser resfriado para ser completamente amorfo (a fração de núcleos cristalinos não supera à 10⁻⁶), a linha (1) representa a velocidade de resfriamento menor que a representada pela linha (2), nesse caso apresenta alguns núcleos cristalinos na solidificação do material e aci ma (linha (3)) o sistema será solidificado num estado completamente amorfo e esse estado apresenta uma fração de volume livre maior.

II.2. Técnicas de Preparação de Ligas Metálicas Amorfas

As técnicas existentes de preparação das ligas m $\underline{\mathbf{e}}$ tálicas amorfas podem ser divididas em:

2.1. Técnicas de Laboratórios

Entre essas técnicas destacamos:



Log Tempo

Figura 3: Curva (TTT) para preparação de uma liga metálica no estado amorfo, a partir da fase líquida

T_f: temperatura de fusão

Tx: temperatura de cristalização

2.1.1. Implantação de Ions

Essa técnica é usada na prepração de pequenas quantidades de materiais amorfos. É considerada como uma técnica de modificação de superfície até alguns angstrons de espessu-

ra. Essa modificação se dá devido a perda da energia provocada pelas colisões sucessivas dos ions penetrantes com os átomos da superfície do material, Nesse processo a taxa de resfriamento $\rm R_{\rm C}$ pode atingir até 10^{14} K/s.

2.1.2. Deposição e Eletrodeposição Química

Essas técnicas são usadas na obtenção de filmes finos com espessuras < 100 Å. As condições de deposição e a composição do banho influem na obtenção do material com composição precisa.

2.1.3. Splat Cooling

Essa técnica consiste em jogar uma gota de material fundido em duas placas maciça de metal com alta condutividade térmica em colisão. Obtêm-se lâminas amorfas com espessuras que não superam 50 μ m com taxa de resfriamento R_C de 10⁵ a 10^6 K/s.

2.2. Técnicas de Produção de Ligas Amorfas em Escala Industrial

As técnicas com base no resfriamento rápido da fase líquida são usadas na produção de grande quantidade de metais amorfos em forma de fitas ou filamentos contínuos com comprimentos praticamente ilimitado.

Entre essas técnicas destacamos:

2.2.1. "In Rotating Liquid Spinning"

Esse método é usado na produção de filamentos amo<u>r</u> fos por ejeção de ligas fundidas através de um orifício circular no interior de um tambor em rotação onde existe uma camada de líquido refrigerante. A camada é formada em toda superfície interna do tambor quando este está em rotação.

2.2.2. Método "Melt Spinning"

Esse método é muito usado na fabricação de grandes quantidades de fitas metálicas amorfas continuas devido as pos sibilidades de aplicações tecnológicas e ao seu baixo custo de fabricação. O método consiste em ejetar uma liga fundida sobre uma superfície resfriadora em movimento. Essa superfície pode ser formada por um ou dois discos de metal com alta condutividade térmica. As figuras (4) e (5) são esquemas ilustrativos do método acima descrito.

Esse método será discutido detalhadamente mais adiante, pois será o método utilizado na produção de fitas fer romagnéticas amorfas para o estudo de sua estabilidade através do fenômeno de after effect da permeabilidade magnética. Para isso foi construída uma máquina "Melt Spinner" contendo um disco de cobre.

Nesse método, a fusão da liga é feita em um cadinho, com uma pequena abertura na sua parte inferior, através de um forno de rádio frequência. O material fundido é lançado sobre uma roda em movimento de rotação por meio de um gás inerte.

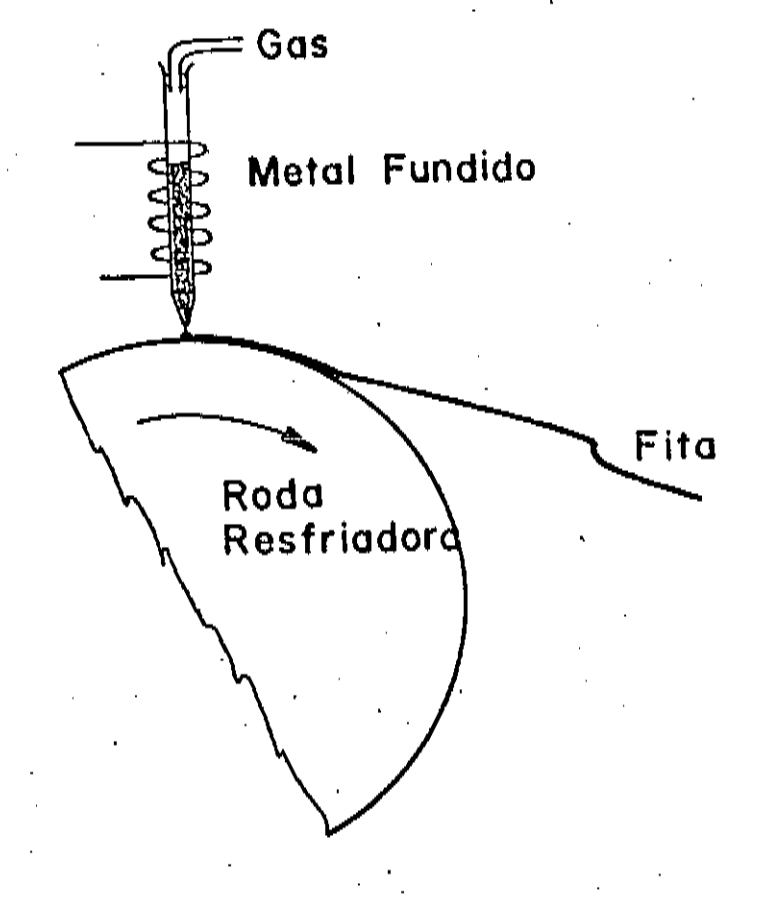


Figura 4: Representação esquemática do método "melt-spinning" com uma roda resfriadora.

O contato do material com o disco provoca a solid<u>i</u> ficação rápida pela troca térmica entre os dois corpos. Uma das vantagens desse método é que ele permite controlar a geometria das fitas produzidas através dos parâmetros do "melt spinner".

II.3. Propriedades e Aplicações dos Vidros Metálicos

Os metais amorfos ou vidros metálicos apresentam comportamentos químicos, mecânicos, magnéticos e elétricos, modificados em relação aos cristalinos correspondentes devido à

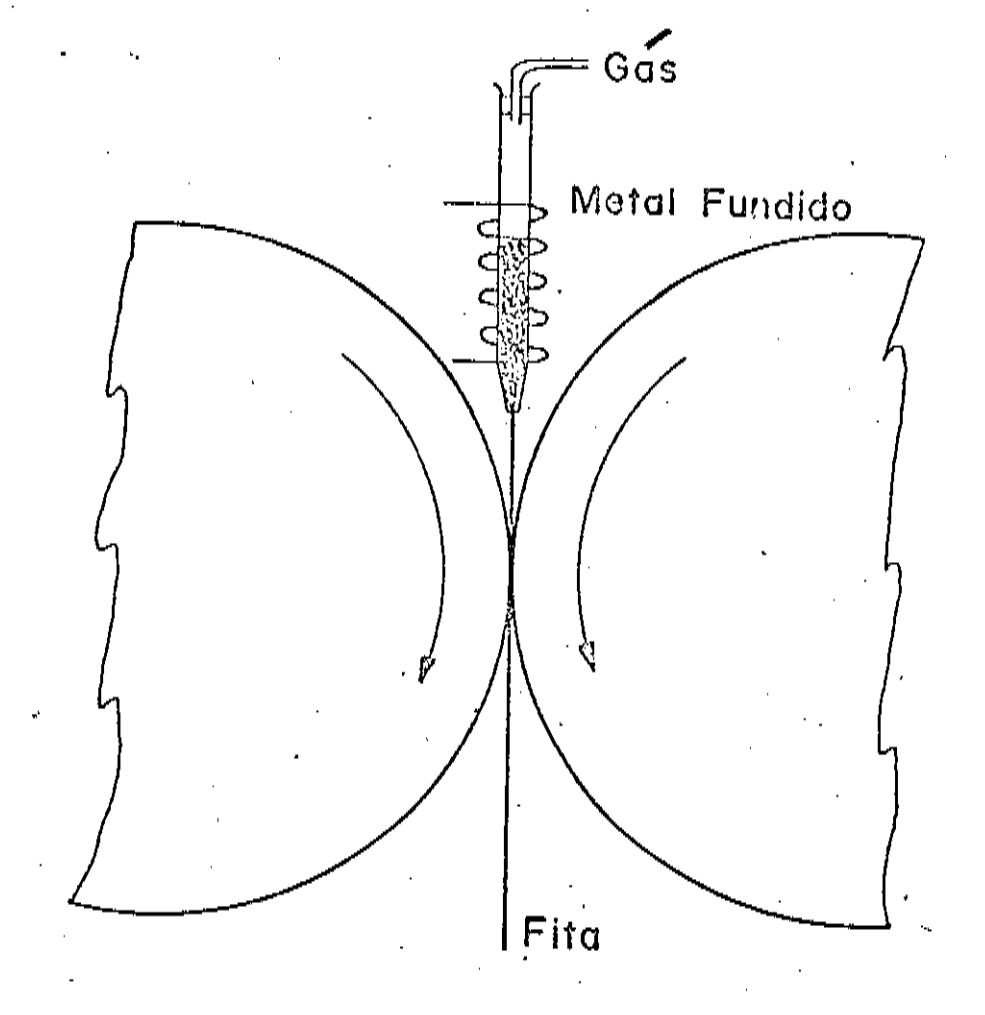


Figura 5: Representação esquemática do método "melt spinning" com duas rodas resfriadoras.

sua estrutura amorfa.

Por exemplo as ligas metálicas amorfas apresentam resistência alta à corrosão principalmente as que contém P em sua composição. A resistência à corrosão desses materiais é superior à do aço inoxidável, o que possibilita a sua aplicação nas indústrias químicas, de alimentos e de materiais cirúrgicos.

As tensões de tração e compressão dos vidros metã

licos são maiores que as verificadas nos sólidos cristalinos correspondentes, apresentam durezas altas e a relação do módu lo de elasticidade e a tensão de tração ou compressão é próxima ao valor verificado nos sólidos cristalinos correspondentes. Devido a essas propriedades mecânicas temos a possibilidade de aplicação desses materiais na fabricação de cabeçotes de grava dores e para os metais amorfos em forma de lâmina ou fita temos a possibilidade de utilização em cabos metálicos, lâmina de barbear e superfícies resistentes.

As ligas metálicas amorfas que contém alta concentração Fe, Co ou Ni em suas composições apresentam propriedades de ferromagnetismo doce devido aos efeitos microestruturais livres à deslocamentos. Esses materiais poderão ser usados como núcleos de transformadores de potência devido à significante re dução de perdas de energias por histereses, comparadas com os cristalinos. Por outro lado, a presença de metaloides nas ligas metálicas amorfas faz com que a temperatura de Curie diminua. O momento de saturação medido à baixa temperatura é próxi mo aos valores dos sólidos cristalinos correspondentes. A determinação da temperatura de Curie é importante na obtenção da temperatura de tratamento térmico das ligas. Em geral são usadas temperaturas inferiores à de Curie para minimizar a anisotropia magnética dos vidros metálicos que facilita a sua aplicação em blindagem magnética e em componentes de altas frequên cias.

Outra característica dos vidros metálicos é o valor de sua resistividade elétrica que é aproximadamente quatro ve zes maior que o valor verificado no sólido cristalino correspondente. Essa relação é altamente dependente da composição dos vidros metálicos.

II.4. Produção de Fitas Amorfas de Fe₄₀Ni₄₀P₁₄B₆ pelo Método "Melt Spinning"

II.4.1. Construção da "Máquina Melt Spinner"

Foi construído um aparelho para a produção de fitas metálicas amorfas pelo processo de resfriamento rápido da fase liquida (melt spinning). A idēia bāsica desse processo jā foi descrita na secção II.2.2.

O esboço da maquina construída é mostrada na figu ra 6.

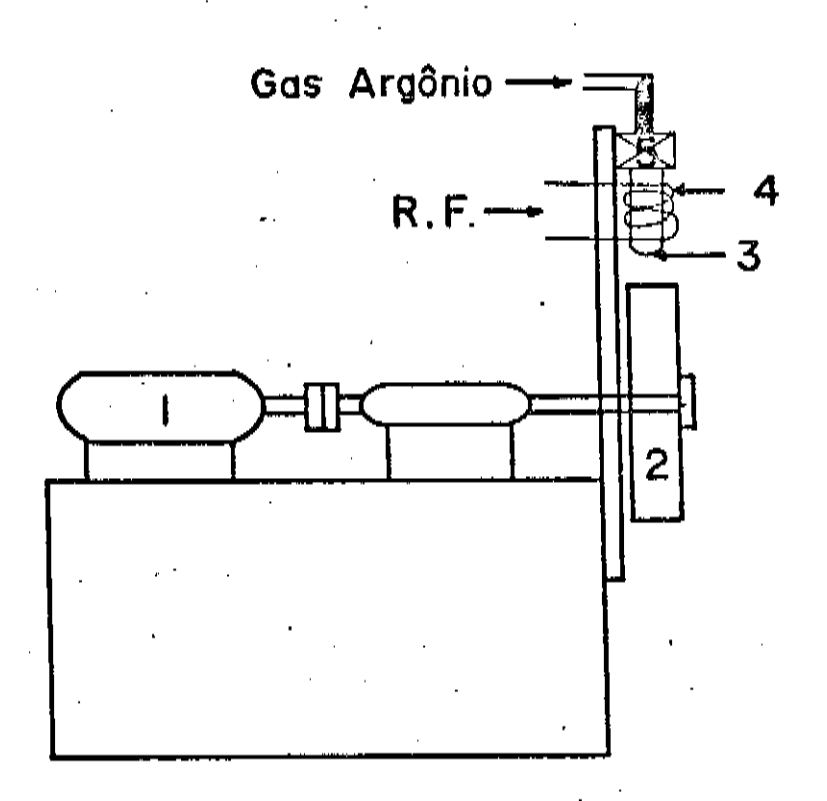


Figura 6: Esboço da máquina "melt spinner"

- 1) Motor eletrico 2) Disco de cobre 3) Cadinho de quartzo

- Bobina de fusão
- 5) Suporte do cadinho e valvula solenoide.

À mâquina é formada de duas partes principais:

- a) Superficie resfriadora constituida por uma roda de cobre com 20 cm de diâmetro e 2 cm de espessura que é impulsionado por um motor elétrico A.C. tipo universal com potência igual a 1/2 Hp e com frequência máxima de 7.000 rotações/minuto.
- b) Sistema de fusão do material é constituído de um forno de rā dio frequência com potência igual a 8 Kw acoplado ao cadinho por uma bobina de indução que o envolve. O cadinho é um tubo de quartzo com um pequeno orifício situado na sua parte inferior. É por meio desse orifício que o material fundido, é lançado na superfície da roda girante através da ejeção de gās argônio.

Os principais parâmetros de controle desse método são a velocidade tangencial da roda de cobre, o fluxo do material fundido, o seu ângulo de incidência, isto é, o ângulo formado entre o eixo do tubo de quartzo e a normal da superfície do disco no seu ponto de impacto.

A variação da velocidade tangencial permite a obtenção de fitas metálicas amorfas com diferentes espessuras mantendo fixos os outros parâmetros. As espessuras são inversamente proporcionais às velocidades tangenciais do disco de cobre, fixadas durante as suas confecções. (5) A variação da velocidade tangencial da roda de cobre é conseguida pela variação da frequência do motor elétrico por meio da variação da sua corrente elétrica através de um variador de tensão.

O controle do fluxo do material é feito controlando a pressão de ejeção do gãs argônio, introduzido no interior, do cadinho para estabelecer um gradiente de pressão ΔP entre as secções (1) e (2) da figura (7).

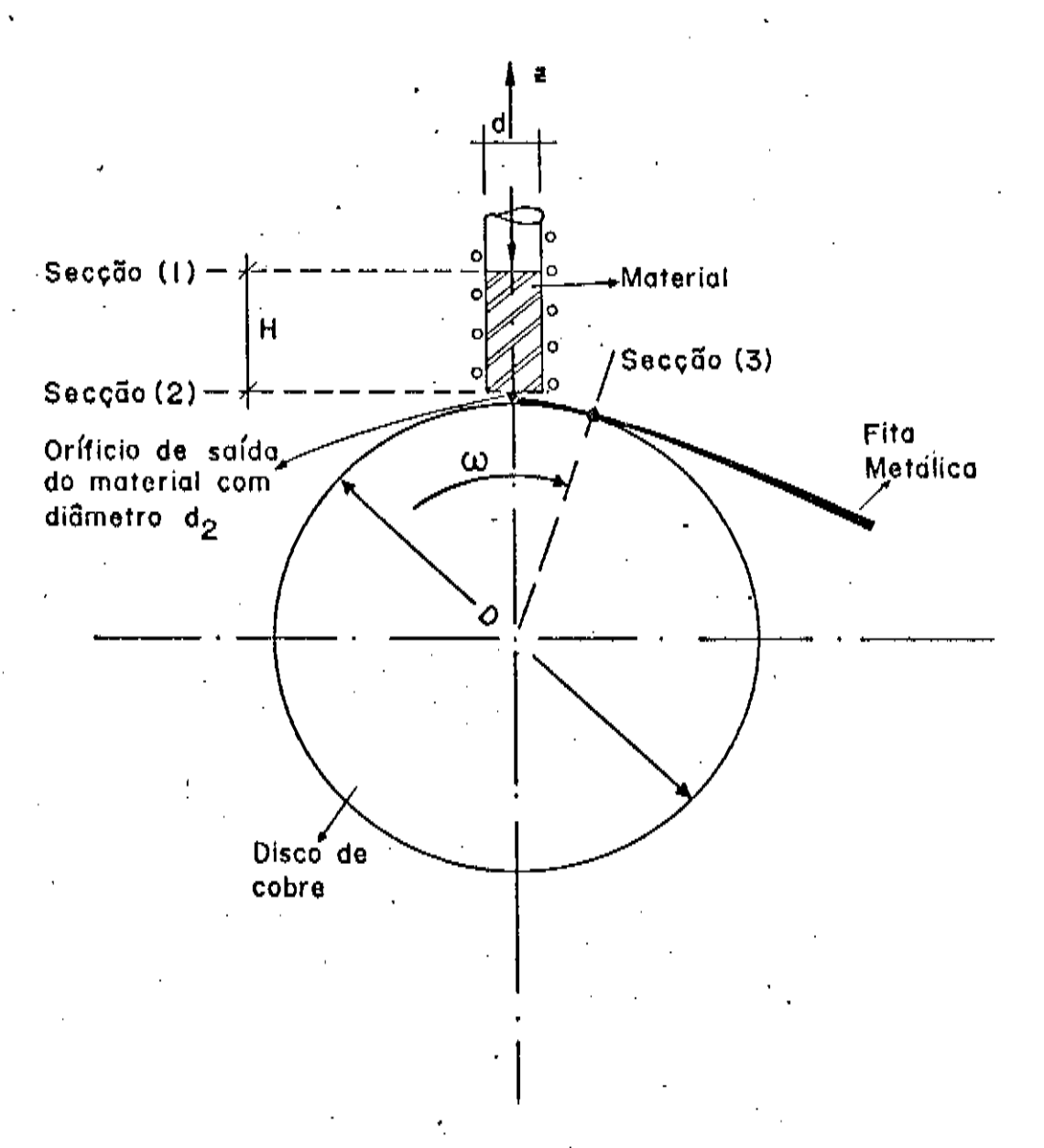


Figura 7: Representação esquemática do mecanismo de formação das fitas metálicas amorfas no método "melt spinning".

A variação do fluxo do material é dada pela variação da pressão de ejeção do gás argônio. As fitas com espessuras diferentes também podem ser produzidas variando a pressão de ejeção e mantendo os outros parâmetros constantes. A espessura da fita é diretamente proporcional à pressão de ejeção estabelecida durante as suas confecções. (6)

O ângulo de incidência relativo à normal à superfície do disco de cobre no ponto de impacto influi na ârea de troca de calor entre o líquido e a superfície do disco de cobre. O contato entre o líquido (metal fundido) e o disco de cobre é feito por meio de uma poça do líquido. (15) Essa poça tende a se esparramar mais facilmente quando o líquido incide formando um determinado ângulo com a normal no ponto de impacto. Como consequência temos uma maior área de contato entre o líquido e o disco de cobre.

No presente trabalho, utilizou-se velocidades ta<u>n</u> genciais do disco de cobre no intervalo de 20 a 40 m/s e gradiente de pressão para controle de fluxo de material no intervalo de 1.30 a 2.20 kgf/cm². O ângulo de incidência foi fixado aproximadamente em 10°.

II.4.2. Obtenção de Fitas Amorfas

Utilizando o aparelho descrito anteriormente foram obtidas várias fitas amorfas à partir de ligas italianas já preparadas de ${\rm Fe}_{40}^{\rm Ni}{}_{40}^{\rm P}{}_{14}^{\rm B}{}_6$. A distância entre cadinho e a superfície da roda de cobre foi fixada em torno de 2 mm.

O diâmetro do orificio do tubo de quartzo utilizado foi de 0.5 mm. A largura e a espessura da fita estão relacionados com a abertura do orificio. (5,6) Para obter fitas com
espessuras diferentes (resfriamento rápido da fase líquida diferentes) foram produzidas duas séries de fitas de 4 amostras.

As fitas da primeira série foram obtidas variando o gradiento depressão Ap no intervalo de 1,30 à 2,20 kgf/cm² e mantendo a velocidade tangencial do disco de cobre em 31 m/s; enquanto que na segunda série, foi mantido o gradiente de pressão igual a 1,80 kgf/cm² e variou a velocidade tangencial do disco de cobre no intervalo de 22 à 36 m/s.

Em todas as fitas produzidas foram utilizadas a mesma quantidade de liga, aproximadamente l g,e foi mantida a mesma corrente na bobina de indução para manter a mesma tempe ratura na liga fundida em intervalo de tempos equivalentes.

II.5. Resultados e Discussão

Os resultados obtidos estão apresentados nas tabelas 1 e 2 onde t e & são espessuras e larguras das fitas, Δp é o gradiente de pressão, ω e v são as velocidades angulares e tangenciais do disco de cobre. A espessura da fita em função do gradiente de pressão Δp , mantendo a velocidade tangencial do disco v constante é mostrado na figura (8). A espessura da fita em função da velocidade tangencial v , mantendo o gradiente de pressão constante é mostrado na figura (9).

Faremos agora algumas considerações teóricas para obter uma relação entre a espessura da fita amorfa e a pressão do gás argônio, onde é expressa indiretamente por Δp. Para is so assumimos que o metal fundido é um fluido perfeito sem vis-

(t±0,5) µm	(l ±0,1) mm	(Δp±0,1) kgf/cm ²	ω (rpin) ± 1%	v (m/s)
20,0	2,0	1,3	3.000	31,0
22,0	2,0	1,6	3.000	31,0
26,0	2,0	2,0	3.000	31,0
31,0	2,0	2,2	3.000	31,0

Tabela 1: Dados da 1ª série de fitas confeccionadas pelo me todo "Melt Spinning".

(t±0,5) μm	(l±0,1)	(Δp±0,1) kgf/cm ²	ω (rpm) ± 1%	v (m/s) ± 1%
18,0	1,5	1,8	3.400	36,0
21,0	1,5	1,8	3.000	31,0
. 24,0.	1,5	1,8	2.500	26,0
31,0	1,5	1,8	2,100	22,0

Tabela 2: Dados da 2^d serie de fitas confeccionadas pelo me todo "Melt Spinning".

cosidade.

As notações no cálculo são as mesmas das tabelas l e 2 e as outras estão representadas na figura 7.

Supondo a liga no estado líquido um fluido incom pressível, podemos escrever a equação de Bernoulli, entre as secções (1) e (2) da figura 7 por:

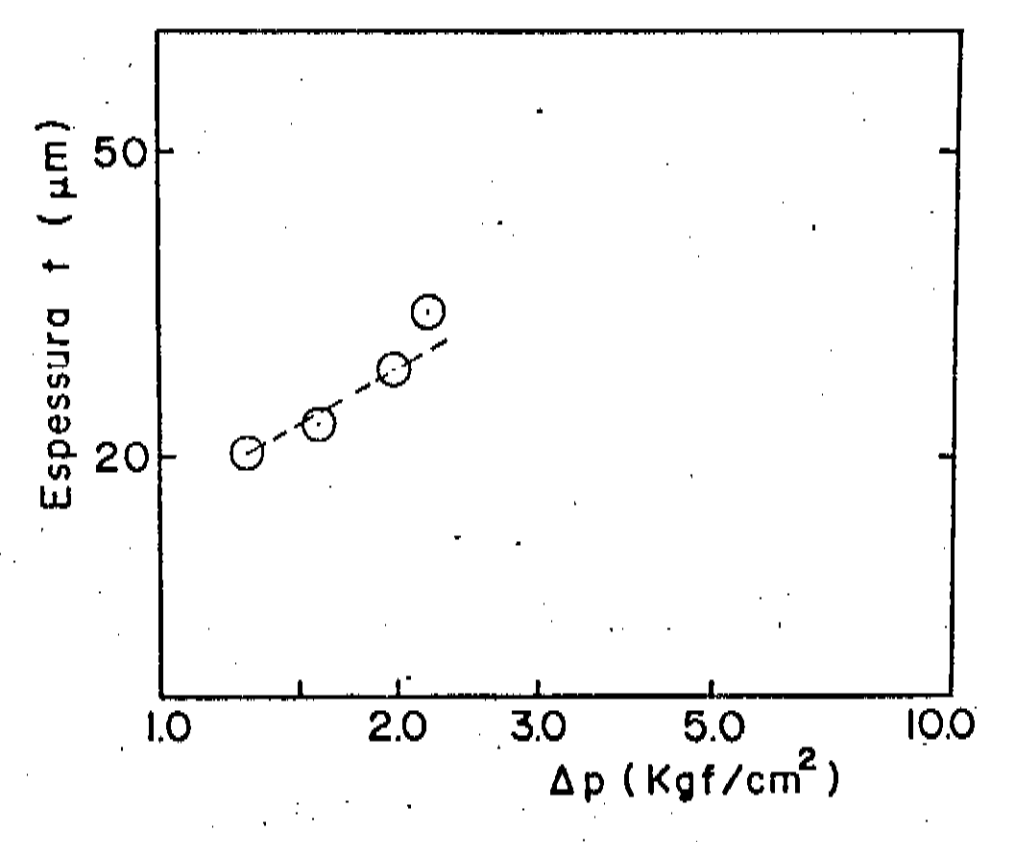


Figura 8: Gráfico da espessura t em função de Δp para a $1^{\frac{\alpha}{2}}$ série de fitas.

$$\frac{\mathbf{v_2^2 - v_1^2}}{2\mathbf{q}} = \frac{\mathbf{p_1 - p_2}}{\rho \mathbf{q}} + \mathbf{z_1 - z_2} \tag{1}$$

onde p₁ e p₂, v₁ e v₂, z₁ e z₂ são pressões, velocidades do fluido e coordenadas das secções (1) e (2) respectivamente, ρ é a densidade do líquido e g é a aceleração local da gravidade.

Escrevendo $\Delta p = p_1 - p_2$, onde $p_1 = p_E$ pressão de ejeção do gás, $p_2 = p_0$, pressão atmosférica local e escrevendo $z_1 - z_2 = H$ e da condição da nossa investigação $v_1 \le v_2$, temos:

$$v_2^2 = \frac{2}{\rho} (\Delta p + \rho g H) \qquad (2)$$

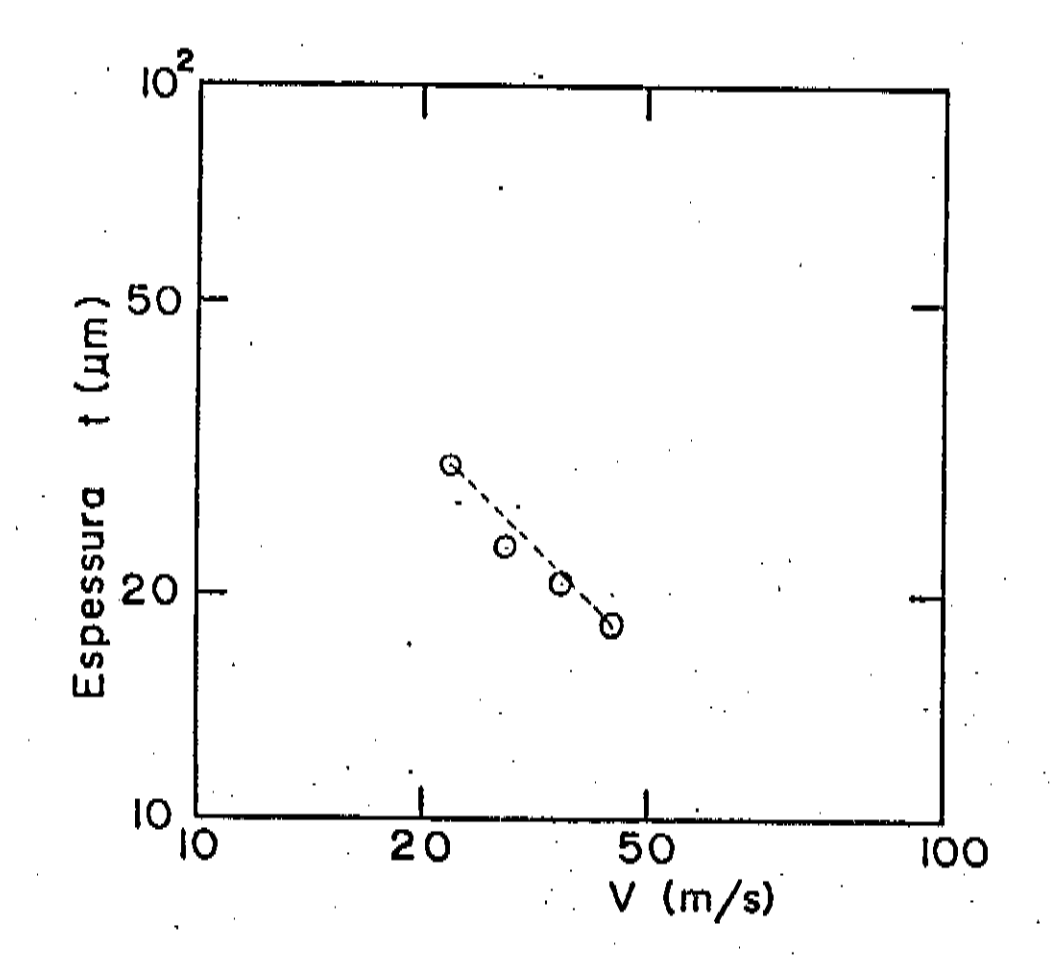


Figura 9: Grāfico da espessura t em função de v para a 2ª sêrie de fitas.

Como $\Delta p \gg \rho g H$, Δp \tilde{e} a ordem de 1 kgf/cm² e $\rho g H$ da ordem 10^{-5} kgf/cm² então

$$\mathbf{v_2^2} \sim \frac{2}{\rho} \Delta \mathbf{p} \tag{3}$$

Escrevendo a equação da continuidade entre as secções (2) e (3) da figura 7, supondo a fita continua e uniforme e tomando a velocidade da fita igual à velocidade da roda temos:

$$v_2 \frac{\pi d_2^2}{4} = v.tl \tag{4}$$

onde d₂ é o diâmetro da secção (2), t e l são a espessura e largura da fita respectivamente e v é a velocidade tangencial do disco de cobre.

Comparando (3) com (4) obtemos:

$$t \sim \pi/4 \frac{d_2^2}{2v} \cdot (\frac{2}{\rho})^{1/2} \cdot (\Delta p)^{1/2}$$
 (5)

Para v constante, temos:

$$t = \kappa_1 (\Delta p)^{1/2} \tag{6}$$

Mantendo, Δp constante, temos:

$$t = \kappa_2 \cdot \frac{1}{v} \tag{7}$$

ou

$$t = \kappa_2 v^{-1} \tag{8}$$

Do gráfico da figura (8) observamos que a espessura té proporcional à $(\Delta p)^{1/2}$ quando a velocidade vé mantido constante. Esse resultado é coerente com a expressão (6) obtida da análise teórica.

Do gráfico da figura (9) observamos que a espessura t é proporcional a v^{-1} quando Δp é mantida constante, o que concorda com a equação (7).

Essa análise teórica tem o objetivo estimar previamente a relação entre as espessuras das fitas e os parâmetros controláveis do "Melt Spinner" como a pressão de ejeção do gás e a velocidade tangencial da roda, o que concorda com os resultados da referência (5).

Tanto na primeira como na segunda séries de fitas produzidas notou-se a presença da instabilidade de Kelvin-Helmholtz, isto é, as fitas apresentam as bordas serrilhadas, como mostradas na figura (10). Esse fenômeno provavelmente é provocado pela vibração e distorção da poça de material fundido, a partir da qual a fita se solidifica e do coeficiente de resfriamento em toda interface da fita e disco. (15)

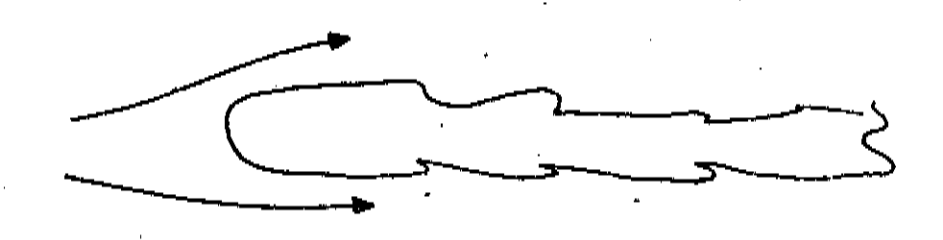


Figura 10. Esboço ilustrativo da instabilidade de Kelvin-Helmholtz.

A cinética de formação das estruturas amorfas nas fitas metálicas produzidas pelo método "melt spinning" depende da velocidade de solidificação em relação a taxa de crescimento de cristais nos materiais usados nas confecções dessas fitas. A velocidade de solidificação está relacionada com a troca de calor entre a liga fundida e o disco de cobre. Essa dependência estabelece os limites superior e inferior das espessuras das fitas quanto a existência dos estados amorfos em suas estruturas. (6,16)

Por outro lado, as espessuras das fitas são inversamente proporcionais às velocidades tangenciais da roda de cobre e essas velocidades estão relacionadas com as taxas de resfriamento pelo tempo de contato entre a liga fundida e o disco de cobre. Então a velocidade de solidificação, que é diretamente relacionada à taxa de resfriamento da liga fundida, torna-se provavelmente inversamente proporcional às espessuras das fitas produzidas. (16) Então, há grande probabilidade da influência das condições de fabricação na formação das estruturas amorfas nessas fitas.

Para comprovar que as fitas produzidas no presente trabalho estão no estado amorfo, foram tirados espectros de raio X. Alguns exemplos são mostrados na figura 11.

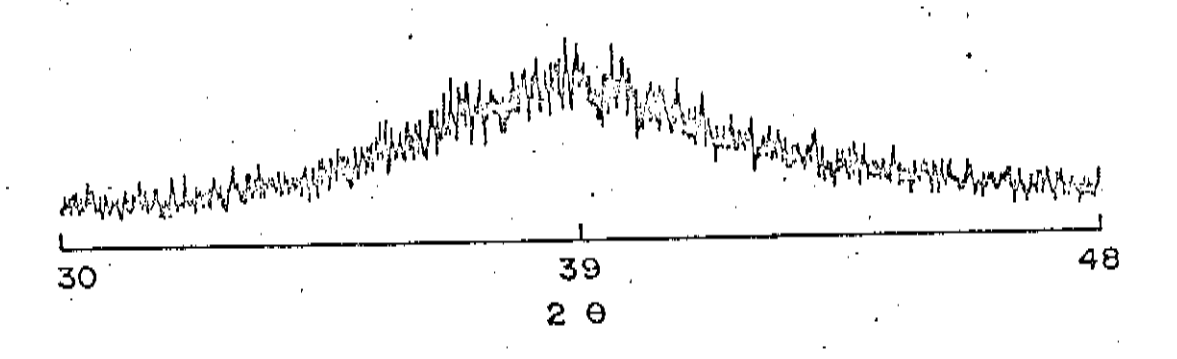


Figura 11.a: Espectro de raio X para fita de 22 µm da 1ª série.

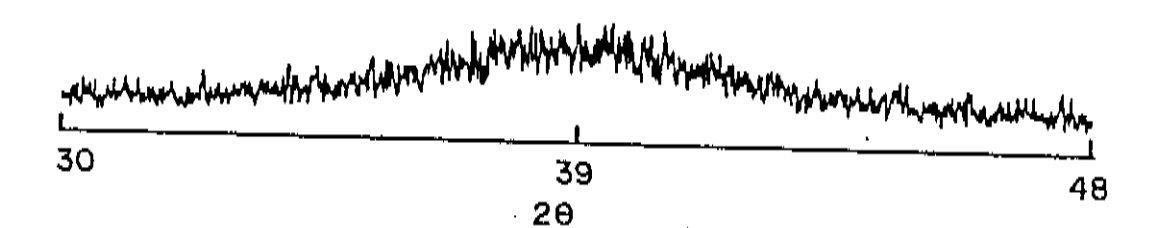


Figura 11.b. Espectro de raio X para fita de 21 μm da $2^{\frac{a}{2}}$ série.

O espalhamento de raios X é uma das principais fon tes de informações da estrutura microscópica dos vidros met $\underline{\tilde{a}}$ licos.

A grande vantagem desse método é o fato do comprimento de onda da radiação incidente ser comparável ao diâmetro de um átomo. Então a intensidade da radiação espalhada é função do ângulo de espalhamento, o que permite determinar a distribuição atômica á partir de um padrão de espalhamento. Para os cristais este método permite determinar com precisão as coordenadas dos átomos. Para os sólidos amorfos essa precisão não existe e o método permite determinar apenas a distância entre os átomos. Isso fica evidenciado pela presença das bandas largas das figuras 11(a) e 11(b).

111. Estudo da Estabilidade das Ligas Ferromagnéticas Amorfas por Meio de "After Éffect" da Permeabilidade Magnética

III.1. Introdução

As ligas metálicas amorfas apresentam um estado me taestável, portanto sob ação de tratamento térmico elas sofrem uma modificação nas suas propriedades. É razoável considerar, a princípio, que as ligas amorfas produzidas pelo método resfrigmento gápido ("melt spigning") com diterentes condições de fabricação são caracterizadas pelas diferentes estruturas atômicas. Essas diferenças nas estruturas afetam as propriedades físicas e as estabilidades térmicas dos materiais amorfos com o tempo. De fato, algumas discrepâncias entre resultados de. pesquisadores podem ser devidas a tais efei vārios tos. É importante salientar que variação de parâmetros bricação não são usadas somente para otimizar a produção, também para fazer estudos fundamentais dos vidros metálicos. exemplo se a variação das propriedades causada pelas diferentes condições de produção fosse semelhante aquelas causadas pelas mudanças composicionais, implicaria numa grande dificuldade na interpretação dos efeitos de composição. Existem vários modos de produzir as ligas metálicas amorfas, mas nesse trabalho elas são somente produzidas pelo método "melt spinning".Como foi visto, em "melt spinning" hā vārios parāmetros ajustāveis, tais como temperatura da liga fundida, velocidado da roda de resfriame<u>n</u> to, pressão de ejeção, distância entre a extremidade do cadinho e a roda, etc. Entre as experiências controladas, as duas mais utilizadas são:

a) Variar a velocidade da roda e manter os outros parâmetros.

b) Variar a pressão de ejeção e manter o restante constantes.

Experimentalmente a espessura da fita metálica amorfa t varia com a velocidade da roda v e com a pressão de ejeção Δp, isto é, t α v⁻¹ e t αΔp^{1/2} e a largura da fita permanece praticamente constante. Temos então que quanto menor a espessura da fita maior é a taxa de resfriamento R. A espessura da fita dá uma idéia da ordem dos valores de R em uma série de amostra de mesma composição produzida pelo "melt spinner".

A mudança das propriedades dos vidros metálicos causada pelo tratamento térmico é devida às relaxações estruturais e às variações das tensões internas. As diferenças das propriedades entre as fitas metálicas amorfas produzidas com baixa e alta velocidade de resfriamento são esperadas ser aná logas às diferenças entre com e sem tratamento térmico. Foi verificado que nas fitas de altos valores de R a tensão interna é maior que nas fitas de baixo valor de R e esta pode ser até semi-cristalizada (17).

Na fase amorfa as configurações atômicas das ligas metálicas são determinadas principalmente pela estrutura de curto alcance, com muitos graus de liberdade sem a restrição da ordem de longo alcance. A otimização das características magnéticas das ligas ferromagnéticas amorfas depende muito do conhecimento da técnica de relaxação estrutural sem que haja o processo de cristalização. O estudo da dependência do processo da relaxação com o tempo e com a temperatura é, portanto, de grande interesse tecnológico e científico.

As propriedades magnéticas tais como a temperatura de Curie, força coerciva, magnetização, "after effect" da permea

bilidade magnética, são sensíveis as variações das estruturas dessas ligas ferromagnéticas amorfas. Entre elas podemos desta car o "after effect" da permeabilidade magnética ou desacomoda ção por ser mais simples e sensível, portanto a medida de "after effect" pode ser efetuada para o controle das condições de fabricação e dos tratamentos térmicos dos metais amorfos. Neste trabalho foram feitos estudos sobre os efeitos das condições da fabricação de fitas ferromagnética amorfa.

111.2."After Effect" da Permeabilidade Magnética ou Desacomoda

As propriedades magnéticas das ligas ferromagnéticas doces amorfas e cristalinas são modificadas pela presença de processos ativados por átomos ou por grupos de átomos interagindo com a direção de magnetização local. Esta interação causa um efeito de freamento no movimento das paredes de Bloch. Em consequência disso, quando um campo magnético aplicado é instantaneamente modificado, as quantidades magnéticas como a indução, a força coerciva e a permeabilidade inicial atingem os novos valores de equilibrio com um significativo retardamen to. Este retardamento está relacionado com a constante de tempo dos processos ativados e com a temperatura. Estes efeitos de variações das propriedades magnéticas com o tempo são conhecidos como "after effect" magnético. O after effect da permeabilidade magnética $\frac{\Delta \mu}{\mu}$ é definido como a diminuição da permeabilidade magnética com o tempo logo após a desmagneti zação. O "after effect" $\frac{\Delta \mu}{u}$ é devido ao ordenamento direcional do sistema de átomos ou defeitos interagindo com a magnetização.

Verifica-se que nos materiais ferromagnéticos doces as mudanças da direção de magnetização ocorrem dentro da parede de Bloch de 180° e durante o seu movimento.

O fenômeno de "after effect" da permeabilidade magnética é observável em todos materiais ferromagnéticos amorfos.

De fato, existem grandes diferenças entre os fenômenos observados e materiais cristalinos e materiais metálicos amorfos.

Faremos agora uma descrição do "after effect", em materiais amorfos e cristalinos. Primeiramente descreveremos o processo de ordenamento para os cristalinos.

Nos materiais cristalinos, o "after effect" da permeabilidade magnética está relacionado com a presença de átomos de C ou de N em α-Fe ou com pares de átomos solutos (ligas ferromagnéticas à base de Fe c Ni), segundo o modelo de Neel (18,19), este fenômeno é devido à difusão de átomos ou à rotação de pares de solutos ativados termicamente em materiais ferromagnéticos cristalinos.

O átomo de carbono dissolvido no α-Fe pode se situar intersticialmente (deformando um pouco a rede) em qualquer uma das direções [1,0,0], isto é entre dois átomos de Fe ao longo da aresta do cubo, figura 12. Em uma rede não deforma da e sem levar em consideração o efeito da magnetização espontânea do Fe, qualquer um dos sítios (x,y,z) é equivalente do ponto de vista energético. Cada átomo de carbono poderá migrar (a uma dada temperatura) de um sítio ocupado para um não ocupa do (livre) segundo uma lei simples, conhecida como lei de Arrhenius, dada por:

$$v = v_0 \exp(-Q/kT) \tag{9}$$

onde v é a frequência de salto.

 $\nu_{_{\rm O}}$ é uma freqüência própria dos átomos de carbono (* å freqüência de Debye = $10^{13}{\rm hz}$)

Q é a energia — livre de ativação, figura 13.

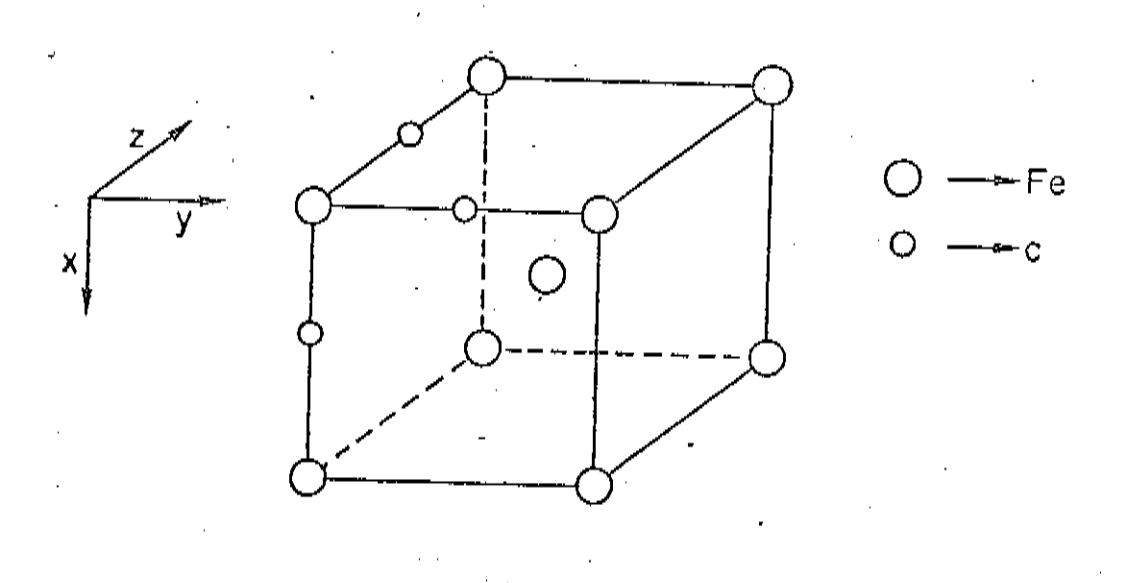


Fig. 12. Configuração intersticial de átomos de carbono em $\alpha\text{-Fe.}$

Vamos considerar agora uma distribuição isotrópica de átomos de C ao longo de três direções (x,y,z) e num dado instante, é provocada uma interação que rompe a simetria. Como exemplo, consideremos uma aplicação do campo magnético na direção x. Neste caso, os átomos tendem a abandonar o eixo dos x e ocupar o eixo dos y e z. O número de átomos x que

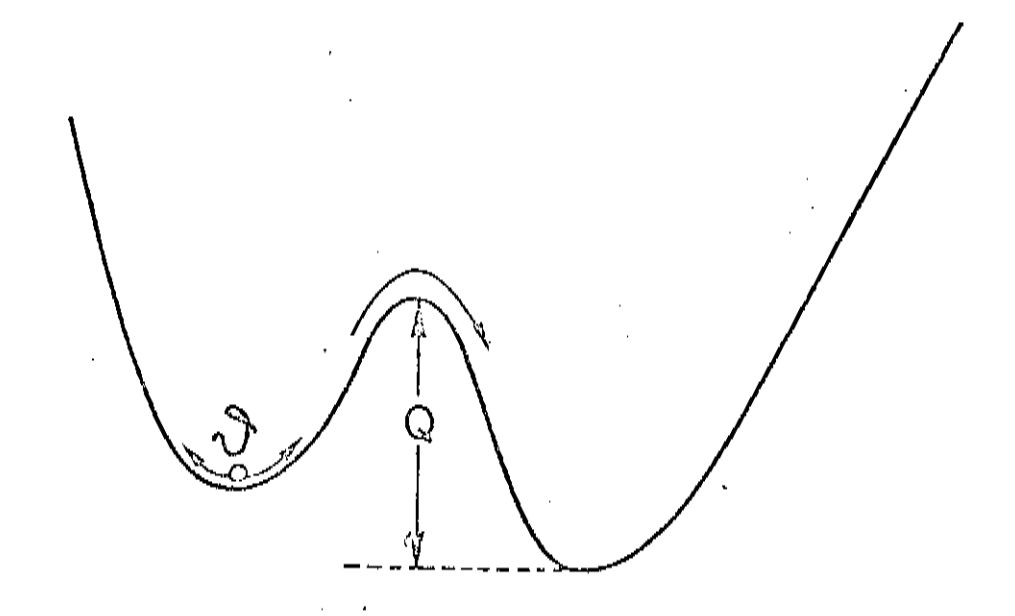


Fig. 13. Representação de uma barreira potencial.

se deslocam para y ou z não é igual ao número de átomos que se deslocam no sentido inverso, devido à variação da anisotro pia magnética, ver figura 14.

O atomo de carbono prefere passar de x para y pois as autofunções eletrônicas dos ions de Fe são alongadas parale lamente a T_S^{\dagger} . Portanto havera um ordenamento directional de atomos de carbono com o tempo de relaxamento, que é dado por

$$\tau = \frac{1}{\nu} = \tau_{O} \exp \left(\frac{O}{kT}\right) \tag{10}$$

Observa-se que se a difusão ocorre com uma só ener gia de ativação, o processo de relaxação macroscópico resulta em uma cinética bem definida, isto é:

$$G(t) = G_0 e^{-t/\tau}$$
 (11)

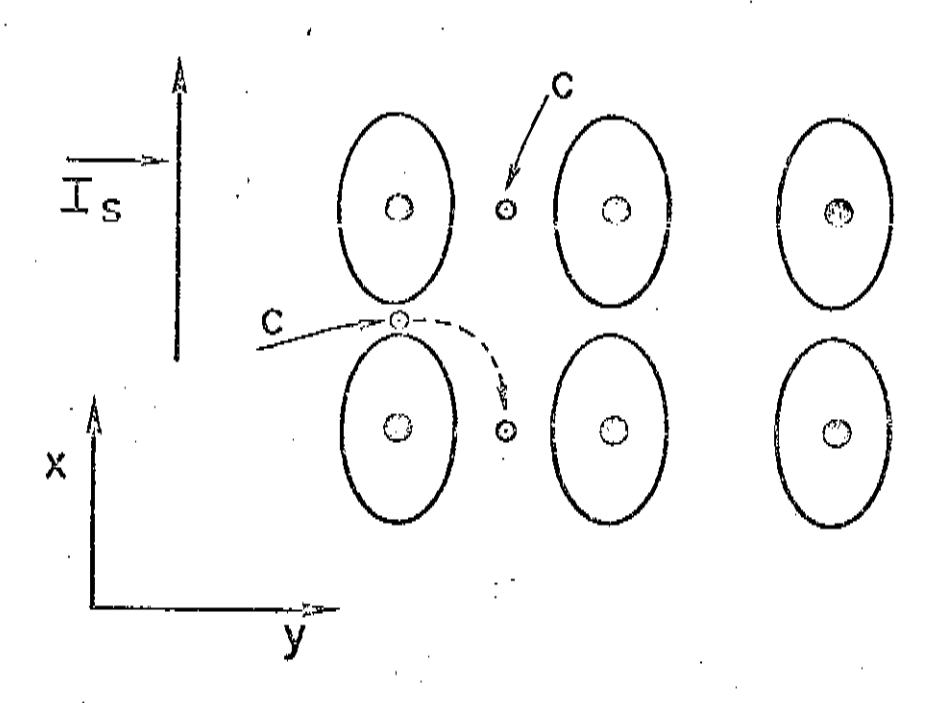


Figura 14. Configuração intersticial e rearranjamento de átomos de carbono em α -Fe.

O esboço do decaimento é mostrado na figura 15.

Nos materiais ferromagnéticos amorfos, o "after effect" ou desacomodação da permeabilidade magnética é devido à presença dos defeitos estruturais no material amorfo. O "after effect" está relacionado com o ordenamento direcional de defeitos estruturais interagindo com a magnetização. Tais defeitos são descritos em termos de flutuações locais de pressão hidrostática e da tensão de cisalhamento, definidos a partir da distribuição das tensões internas a nível atômico. (20,21,22)

Será apresentado mais adiante um modelo proposto por Allia e Vinai baseado na relaxação de defeitos estruturais interagindo com a direção de magnetização local.

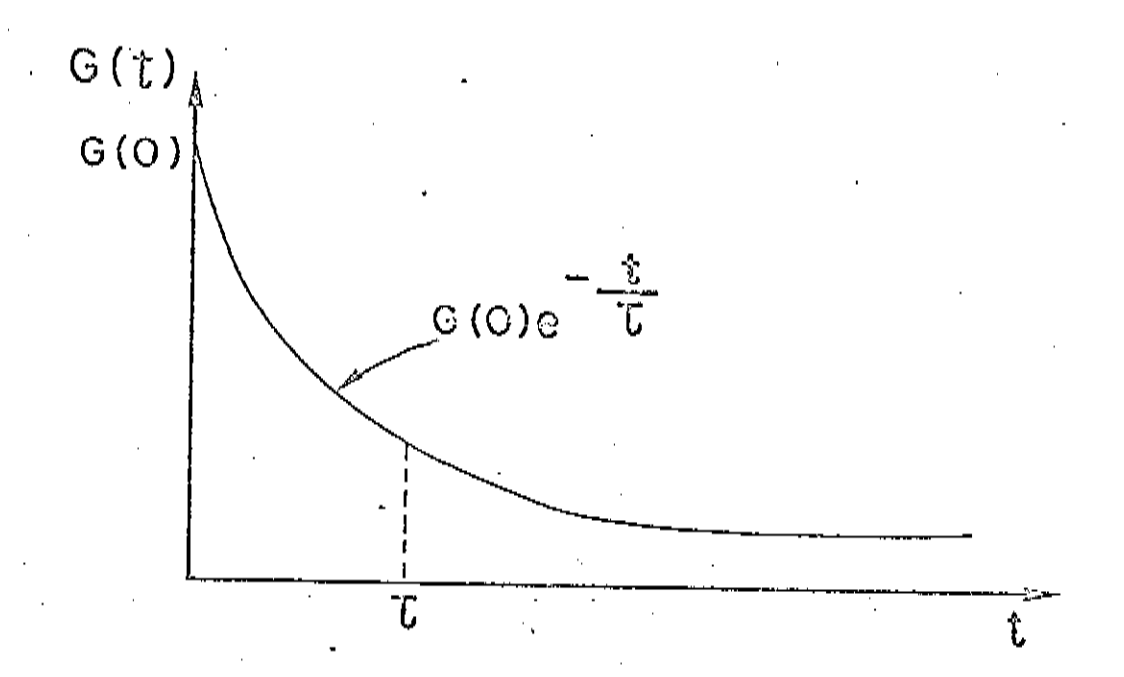


Fig. 15. Curva do relaxação com o tempo.

Ao contrário do que acontece com os materiais ferromagnáticos cristalinos, no caso de amorfos, a dependência da desacomodação com o tempo é do tipo G(t) ~ a-blnt, como representado na figura 16.

Num sistema amorfo, a relaxação da permeabilidade magnética pode ser interpretada como uma superposição de deca<u>i</u> mentos elementares com uma larga distribuição de energia de ativação, mostrada na figura 17, e pode ser observada para qualquer temperatura entre 4K e o ponto de Curie do material (23). Portanto o "after effect" serve para testar se o material apresen ta um estado (parcial ou total) amorfo ou não.

Nestes materiais a forma do relaxamento Δμ não muda com a temperatura, muda apenas a intensidade. Medir o fenômeno para diversas temperaturas é equivalente a testar diversas

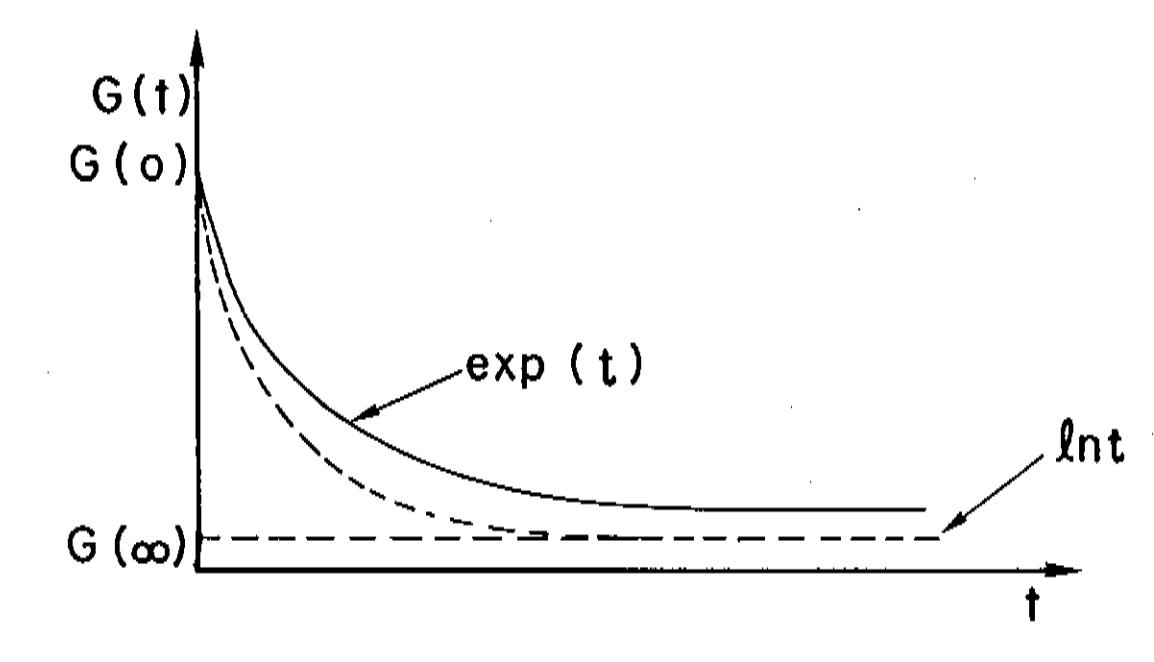


Fig. 16. Comparação entre as desacomodações de materiais cristalinos e amorfos.

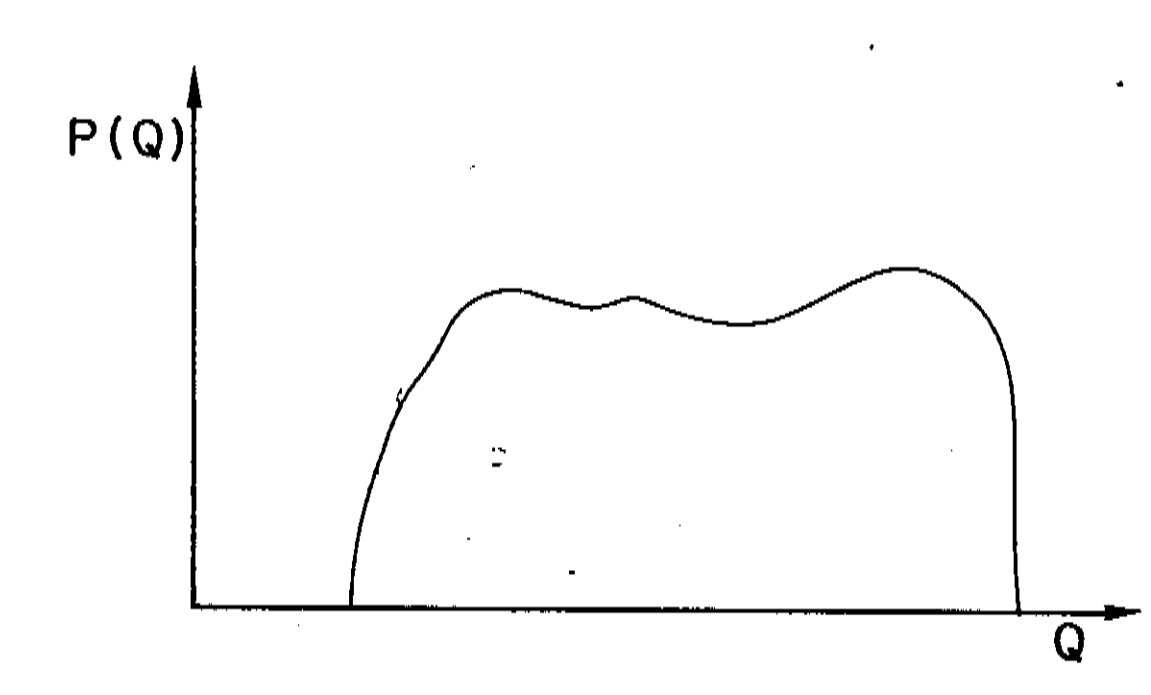


Fig. 17. Esboço da distribuição de energia de ativação em materiais amorfos. (2)

regiões da distribuição da energia. Para cada temperatura mede-se um relaxamento devido a processos elementares com constantes de tempo compreendidas num certo intervalo de tempo fixo, portanto obtêm-se informações sobre os processos ativados naquele intervalo considerado. É interessante notar que os limites da energia de ativação dependem também do valor de temporatura em questão. Podemos então escrever

$$Q \approx kT \ln t/\tau_{Q} \tag{12}$$

O relaxamento do tipo înt da permeabilidade inicial magnética Au de uma liga ferromagnética amorfa após a desmagne tização pode ser representada pela figura 18.

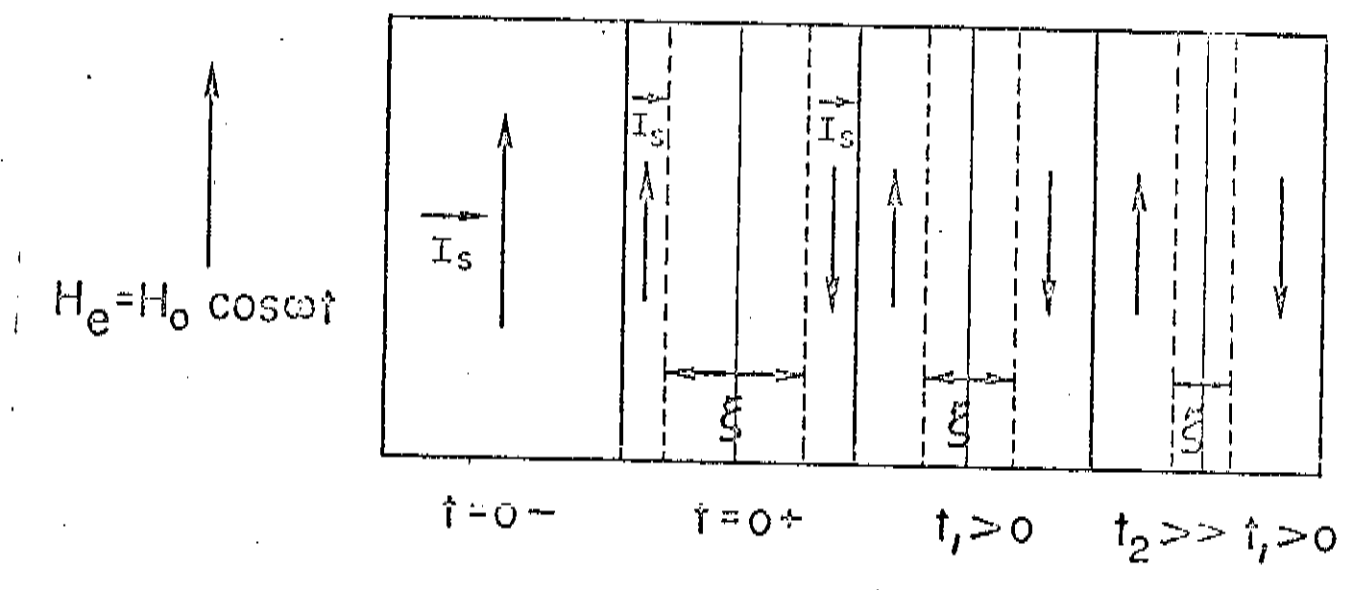
Podemos então notar que:

Nos materiais cristalinos a cinética é exp(-t/\tau), portanto o fenômeno é descrito por uma so constante de tempo li gada ao fenômeno de ordenamento bem definido. É obvio que se existe uma so constante de tempo (uma so energia de ativação). O fenômeno é observado a uma certa temperatura T* tal que:

$$\tau^* = \tau_0 \times \exp\left[\frac{Q}{kT^*}\right] \tag{13}$$

Esse comportamento é mostrado esquematicamente na figura 19(a).

Nos materiais amorfos, o processo de relaxamento \bar{e} observavel em qualquer temperatura, desde que o material se ja ferromagnético. (ver figura (19(b))



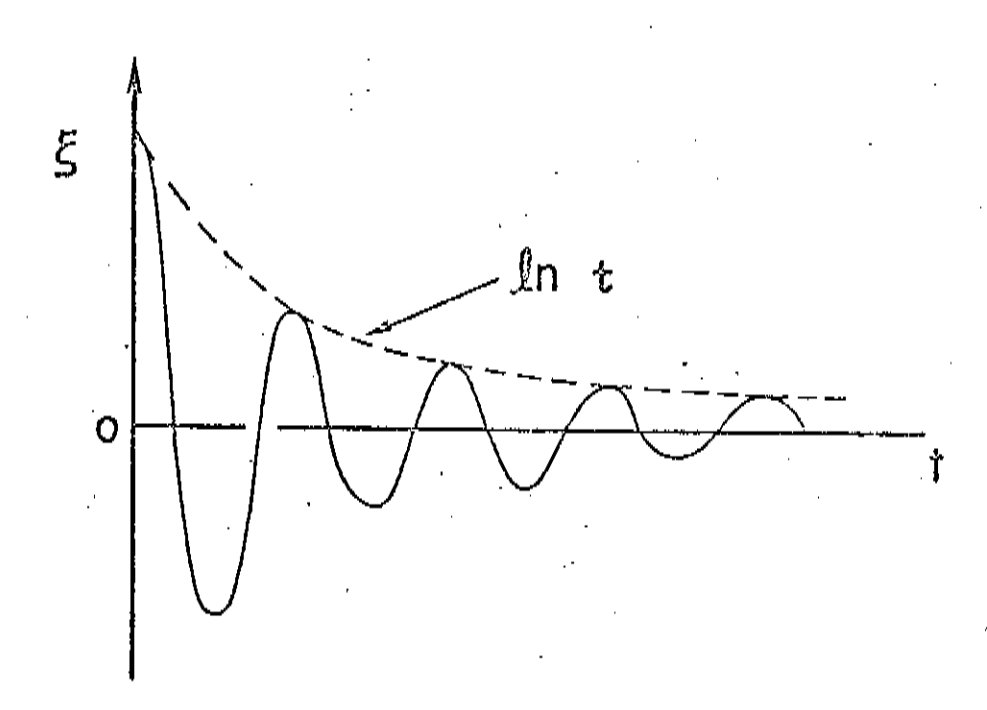


Figura 18. Representação do "after effect" da permeabilidade magnética em ligas ferromagnéticas amorfas após a desmagnetização.

A intensidade do "after effect" para materiais amorfos varia com a temperatura. Em geral, ela cresce com o aumento da temperatura. È possível derivar uma forma aproximada da distribuição da energia de ativação para o "after effect" através do estudo do comportamento de $\frac{\Delta \mu}{\mu}$ em função da temperatura. O com-

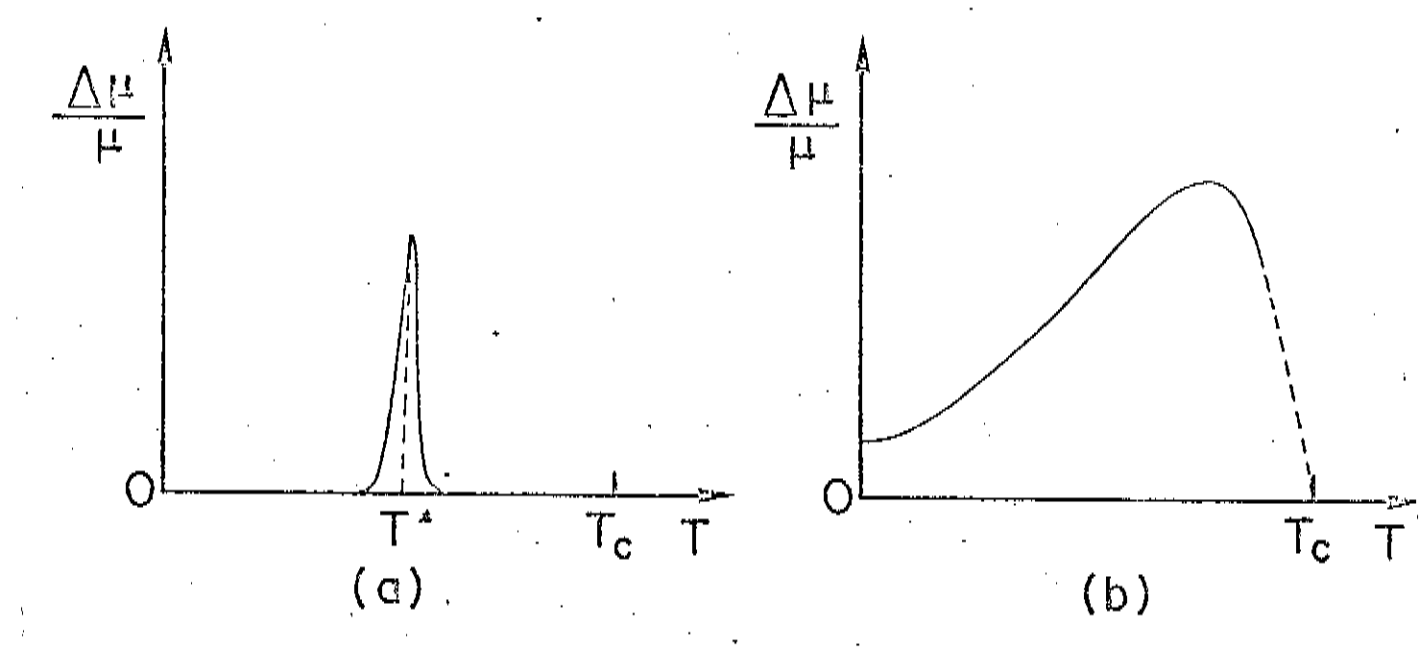


Figura 19. "After effect." da permeabilidade magnética, a) materiais cristalinos, b) amorfos.

portamento de $\frac{\Lambda \mu}{\mu}$ em função da temperatura é semelhante para to das as ligas ferromagnéticas amorfas, independente das suas composições, portanto pode-se considerar que o "after effect" é de origem estrutural. Diversos resultados confirmam este ponto de vista. Primeiro: o "after effect" desaparece completamente quando o material cristaliza, mesmo que este permaneça ferromagnético. Segundo: se o material sofre uma relaxação estrutu ral irreversível, isto é, mudanças topológicas a curto alcance, o "after effect" $\frac{\Lambda \mu}{\nu}$ sofre uma variação irreversível. (24)

Estes resultados indicam que o grau do estado amor fo (diferentes estruturas) dos metais amorfos tem um papel importante na determinação da intensidade do "after effect" para uma dada temperatura.

III.3. Modelo de "After Effect" da Permeabilidade Magnética em Sistema Amorfos

Descrevemos aqui o modelo de "after effect" proposto em 1982 por Allia e Vinai⁽²⁵⁾ gue é baseado na interação magn<u>e</u> tostritiva entre os defeitos e a direção de magnetização local. O conceito de defeito usado aqui é aquele introduzido por Egami e colaboradores como foi mencionado na secção anterior. Segundo Egami, os defeitos são identificados como regiões onde a pressão hidrostática p e ou a tensão de cisalhamento r tem valores locais diferente dos seus valores médios = 0 e <τ> ≠ 0. Através dos resultados obtidos por simulação, concluiu-se que existem regiões onde os valores locais de p e são espacialmente correlacionadas (na média, em torno de 10-20 posições atômicas) e são estáveis no material amorfo. Então os defeitos estruturais são definidas como pequenas regiões onde os valores das tensões do esforço são correlacionados. Existem três tipos de defeitos, p, n e r, onde os tenso res atômicos dominantes são respectivamente de compressão, tração e cisalhamento. Neste modelo, a relaxação estrutural é descrita como recombinação dos defeitos do tipo p e n e que ocorre devido à difusão irreversivel destes defeitos a curto Essa relaxação resulta na aniquilação de volumes livres. Os valores das energias de ativação para o movimento desses defeitos estão entre 1.7 à 2.5 ev. (26)

Nos materiais ferromagnéticos amorfos, existe uma distribuição contínua de constante elásticas de cisalhamento

local cujos valores podem atingir valores muito pequenos. Per isso, pode-se afinam que o movimento dos defeitos de tipo τ pode ser caracterizado por pequenos valores de energia de ativação $(Q_{\tau} \leq Q_{p,n})$ e neste caso, tem-se a relaxação reversível de cada defeito como um todo. O fenômeno de relaxação reversível ocorne sem a difusão atômica entre as posições de equilibrio metaestável vizinhas.

O modelo teórico de Allia e Vinai para o "after effect" da permeabilidade magnética está baseado nestes conce<u>i</u> tos.

Os tensores atômicos de tensão o são definidos em cada posição atômica da matriz amorfa em termos das forças entre os pares de átomos. A partir deles duas quantidades invariantes são calculadas: pressão hidrostática p e a tensão de cisalhamento <T>.

Então temos:

$$\mathbf{p} = \frac{1}{3} \cdot \mathbf{\Sigma} \ \sigma_{\mathbf{i}\mathbf{i}} \tag{14}$$

e

$$\tau = \{\frac{1}{3} \left[\frac{(\sigma_{11} - \sigma_{22})^2}{2} + \frac{(\sigma_{11} - \sigma_{33})^2}{2} + \frac{(\sigma_{22} - \sigma_{33})^2}{2} \right] + \sigma_{12}^2 + \sigma_{13}^2 + \sigma_{23}^2 \}^{1/2}$$

$$(15)$$

Pela referência (26), o valor médio dos componentes $\langle \sigma_{ij} \rangle$ é zero para um par ij, tal que $\langle p \rangle = 0$, enquanto que $\langle \tau \rangle \neq 0$. Destas equações se o segundo momento de $\langle \sigma_{ii}^2 \rangle$, $\langle \sigma_{ij}^2 \rangle$, $\langle \sigma_{ij}^2 \rangle$ não são modificados pela rotação de indices, podemos

então obter as seguintes relações:

$$\langle \mathbf{p}^2 \rangle = \frac{1}{3} \langle \sigma_{\mathbf{i}\mathbf{i}}^2 \rangle + \frac{2}{3} \langle \sigma_{\mathbf{i}\mathbf{i}}\sigma_{\mathbf{i}\mathbf{j}} \rangle$$
 (16)

$$\langle \tau^2 \rangle = \langle \sigma_{ii}^2 \rangle - \langle \sigma_{ii}\sigma_{jj} \rangle + 3\langle \sigma_{ij}^2 \rangle$$
 (17)

Da condição de invariância dos momentos de 2ª ordem podemos também mostrar que:

$$\langle \sigma_{ii} \sigma_{jj} \rangle + 2 \langle \sigma_{ij}^2 \rangle = \langle \sigma_{ii} \rangle$$
 (18)

Das expressões (16), (17) e (18) obtemos:

$$\langle \sigma_{11}^2 \rangle = \langle p^2 \rangle + \frac{4}{15} \langle \tau^2 \rangle$$
 (19)

$$\langle \sigma_{ii}\sigma_{jj} \rangle = \langle p^2 \rangle - \frac{2}{15} \langle \tau^2 \rangle$$
 (20)

$$\langle \sigma_{ij} \sigma_{kl} \rangle = \frac{1}{5} \langle \tau^2 \rangle \delta_{ik} \delta_{jl}$$
 (21)

onde δ_{ik} e δ_{il} são as funções delta de Kronecker.

O "after effect" da permeabilidade magnética resulta da interação magnetostriva entre os defeitos de tensão de ciza mento e a direção da magnetização local I_s. Por razão de simetria, defeitos devidos — à flutuação da pressão (defeitos do tipo p e n) não interagem diretamente com a magnetização I_s, através da magnetostrição linear.

Para um dado defeito caracterizado pela tensão o ij.

podemos escrever a energia magnética como a soma de energia de troca e magnetoelástica, isto é:

$$\varepsilon = -g\mu_{B}^{ij}_{M} \cdot \ddot{S} - \frac{3}{2} \lambda_{S} \sum_{ij} \sigma_{ij} \gamma_{i} \gamma_{j}$$
 (22)

onde

 \vec{H}_{M} \vec{e} o campo de troca, com direção (0,1,0)

 \vec{s} \vec{e} o vetor de magnetização local que \vec{e} a soma dos vetores de spin do defeito e a sua direção \vec{e} dada pelos cossenos diretores $(\gamma_1, \gamma_2, \gamma_3)$.

 $\lambda_{f S}$ magnetostrição de saturação.

Nos materiais amorfos, a energia de troca é bem maior que a energia magnetoelástica, portanto a equação 22 pode reduzir-se a:

$$\varepsilon = -a \left(1 + \frac{3}{2} \frac{\lambda_s \sigma_{22}}{a}\right) \qquad (23)$$

para aproximação de $1^{\frac{a}{2}}$ ordem de $\lambda_{s}\sigma_{ii}$ e $a=g\mu_{B}\tilde{H}_{M}.\tilde{S}.$

Vamos agora levar em consideração o movimento dos defeitos de tensão de cisalhamento (defeitos do tipo τ). Para uma determinada direção da magnetização podem existir diferentes configurações atômicas locais com estados metaestáveis de energia quase equivalentes, de modo que pode haver transição entre esses estados, ativados termicamente.

Os defeitos estruturais interagindo com a parede de Bloch (onde a magnetização varia espacialmente) dã origem ao "after effect". Quando a parede é deslocada de uma quantidade ξ , a magnetização de cada elemento de volume sofre um giro de um ângulo igual à α . Da Equação (23), assumindo que uma fração do número total de defeitos excitáveis N_T (a temperatura T) executa movimento ativado, podemos determinar a varia-

ção total de energia ΔE sobre toda parede de Bloch deslocada de ξ . Chega-se à seguinte expressão para essa variação:

$$\Delta E = \frac{9}{20} \frac{\langle N \rangle_T}{kT} \lambda_{\dot{s}}^2 \langle \tau^2 \rangle sen^2 \alpha$$
 (24)

A variação da energia ΔE é conhecida como energia de estabilidade da parede. O campo de viscosidade $H_{T}(\xi,t)$ depende diretamente da derivada desta variação ΔE em relação ao desta locamento de parede ξ e depende também do tempo de redistribuição dos defeitos causados pela variação da direção de magnetização.

Temos então:

$$H_{\mathbf{T}}(\xi, t) = H_{\mathbf{T}}(\xi)G(t)$$
 (25)

e

$$H_{\mathbf{T}}(\xi) = \frac{\Delta E}{4I_{\mathbf{S}}} g_{\mathbf{p}}(\xi)$$
 (26)

onde G(t) é uma função que decresce monotonicamente com o tempo, com os limites G(0) = 1 e $G(\infty) = 0$.

 $G_p(\xi)$ é uma função de deslocamento de parede ξ , as sumindo um valor máximo $g_p(\xi)_{max}=2.25$ para $\xi=\xi_{max}=0.45\delta$ (δ é a espessura da parede de Bloch) $^{(25)}$. No caso de parede de 180° , o comportamento $g_p(\xi)$ é como mostra \tilde{a} figura 20.

O "after effect" da permeabilidade magnética $\frac{\Delta\mu}{\mu}$ é dependente de $H_T(\xi)$ pois num intervalo de tempo $\Delta t=t_2^{-t}1$ podemos escrever:

$$\frac{\Delta \mu}{\mu} = \frac{\Delta B}{B} = \frac{B(t_2) - B(t_1)}{B(t_2)}$$
 (27)

onde B(t) \tilde{e} a indução magnética medida num instante t para um campo aplicado He. A variação do campo induzido ΔB pode ser interpretado como a variação da permeabilidade magnética, pois $\mu(t) = B(t)/He$.

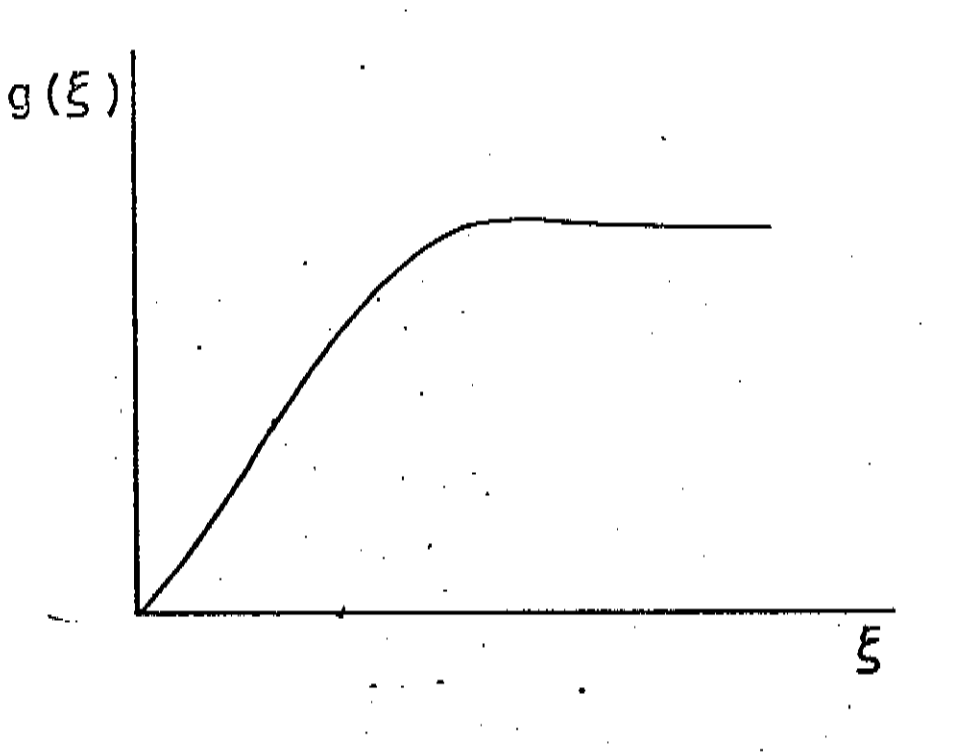


Figura 20. Comportamento da função $G_p(\xi)$ para a parede de 180°.

A dependência de B com o tempo é dada por:

$$B(t) = \mu_{O}^{H}_{e} + \mu_{O}^{H}_{T}(\xi)G(t)$$
 (28)

Logo,

$$\Delta B = \mu_{O} H_{T}(\xi) \cdot (G(t_{2}) - G(t_{1}))$$
 (29)

De (28) e (29) obtemos:

$$\frac{\Delta B}{B} = \frac{H_{T}(\xi) (G(t_{2}) - G(t_{1}))}{H_{e} + H_{T}(\xi) G(t_{2})}$$
(30)

A relação acima é válida desde que a condição $H_{T}(\xi)_{max} \leq H_{e}$ seja válida, que é a condição de nossa experiência. Usando as equações (24), (26), (30) obtemos:

$$\frac{\Delta \mu}{\mu} = 2.55 \times \frac{9}{80} \frac{\langle N \rangle_T}{kT} \frac{(G(t_1) - G(t_2))}{H_Q I_S} \lambda_S^2 \langle \tau^2 \rangle$$
 (31)

Esta é uma expressão para o "after effect" da permeabilidade magnética. O comportamento reversível de $\frac{\Delta \mu}{\mu}$ em função da temperatura é dominado principalmente pela dependência da temperatura com o número total de defeitos <N $>_T$ que pode ser por:

$$\langle N \rangle_{T} = \int_{Q_{1}(t)}^{Q_{2}(t)} p(Q) dQ$$
 (32)

onde p(Q) é a função de distribuição para as energias de ativação dos movimentos de defeitos. $Q_1(T)$ e $Q_2(T)$ são os limites inferiores e superiores da energia de ativação desses movimentos para a temperatura T e no intervalo de tempo Δt .

III.4. Experiência

O "after effect" da permeabilidade magnética é dete tado medindo a variação da permeabilidade $\Delta\mu$ logo após a desmagnetização. Num método convencional, a duração do tempo da desmagnetização $\tau_{\rm d}$ não é menor que 10^{-1} s., portanto podem ser exploradas as regiões de temperaturas em que as constantes de tempo não ultrapassem o valor $\tau_{\rm d}$. Em ligas amorfas, o "after

effect" δ resultante—da superposição de processos elementares caracterizados pela larga distribuição de constantes de tempo das—que podem atingir os valores até a ordem de 10^{-5} s, qual quer que seja a temperatura considerada. Foi desenvolvida uma nova técnica para medir $\Lambda\mu$ para os materiais amorfos, de modo que uma larga distribuição de constantes de tempo pode ser estudada na região $\tau \leq 10^{-1}$ s, onde o método convencional falha.

Usta técnica é impulsiva, ou seja a desmagnetização é realizada num intervalo de tempo muito curto, (largura do pulso = 10^{-5} s.) e o sinal da relaxação B é analisada pelo "lock-in-amplifier". O limite inferior des se sistema é de 10^{-3} s.

Aplica-se um campo magnético senoidal $H_e < H_C$ (campo coercivo), com uma frequência $f_e = 9 \times 10^4~hz$ e sobreposto a esse campo aplica-se um pulso desmagnetizante de intensidade $H_d > H_C$, a cada 13 s. Este intervalo de tempo foi escolhido puramente por conveniência do sistema de medida. Quando se aplica um campo $H_d > H_C$, as paredes de Bloch são completamente desordenadas e a duração do pulso corresponde ao tempo de desmagnetização. A fita amorfa é colocada num porta amostra, onde os enrolamentos para H_d , H_e e B são dispostos num modo apropriado. Os sinais de B são mandados ao "lock-in" e depois ao registrador. A representação esquemática do sistema de medida do "after effect" é mostrada na figura 21.

Foram feitas medidas de "after effect" da permeabilidade magnética $\frac{\Lambda\mu}{\mu}$ entre a temperatura ambiente e a temperatura de Curie em duas séries de fitas ferromagnéticas amorfas de Fe $_{40}^{\rm Ni}{}_{40}^{\rm P}{}_{14}{}^{\rm B}{}_{6}$, produzidas pelo "melt spinning" em condições de fabricação diferentes, conforme já citadas no capítulo (II).

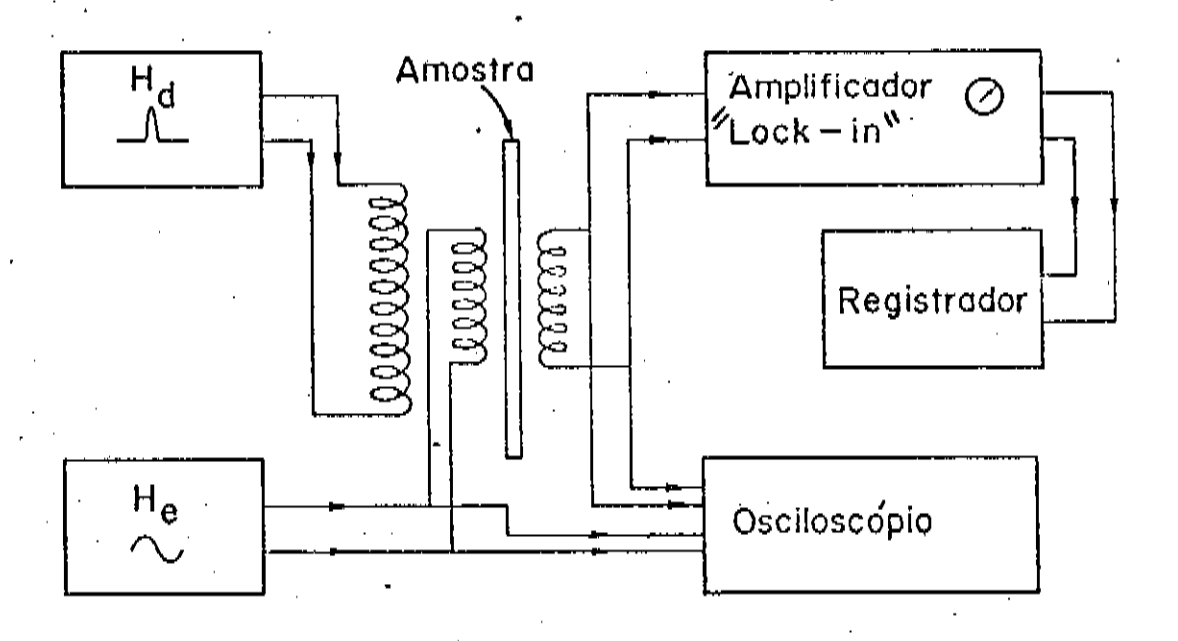


Figura 21. Diagrama de Bloco do aparelho para a medida do "after effect" da permeabilidade magnética.

Em todas as medidas, o $\Delta\mu$ é medido entre dois tempos pré-fixados. Foram escolhidos t_1 = 1s e t_2 = 13s, portanto são considerados somente os valores da constante de tempo neste intervalo. A região da energia de ativação a ser examinada é fixada pelo intervalo de temperatura considerado na experiência.

Como foi visto no capítulo anterior, das equações (26) e (30), podemos afirmar que a uma dada temperatura, a intensidade de "after effect" é proporcional ao valor médio do deslo

camento da parede de Bloch. As fitas ferromagnéticas amorfas produzidas com taxas de resfriamento diferentes apresentam magnetização diferentes, portanto para um dado valor de \mathbb{N}_e aplicado não apresentam os mesmos valores do deslocamento da parede o que dificulta comparações razoáveis de $\frac{\Delta \mu}{\mu}$ entre os diversos materiais.

Uma comparação razoável é obtida quando as medidas de "after-effect" são efetuadas nas mesmas condições de deslocamento de parede. Isto é possível quando os valores de $\Delta\mu$ são obtidos traçando-se curvas de $\Delta\mu(\xi)$ e tomando-se os seus valores máximos. Esses máximos ocorrem para 0,458 e onde 8 é a espessura da parede de Bloch (29).

Como o valor de δ varia com a magnetostrição da fita amorfa e com a presença das tensões internas, a posição máxima também varia de fita para fita. Portanto o procedimento experimental para as medidas do "after effect" da permeabilidade magnética $\frac{\Delta\mu}{\mu}$, a uma dada temperatura é inicialmente o levantamento da curva ΔB em função de B para determinar a posição do valor máximo $B_{\rm max}$ e o seu valor de $H_{\rm e}$ correspondente. A posição de $B_{\rm max}$ está relacionada com $\xi_{\rm max}$ e ΔB ($B_{\rm max}$) com $\Delta \mu$ ($\xi_{\rm max}$). Uma vez determinado o valor de ΔB ($B_{\rm max}$) obtém-se a relação $\Delta \mu$ ($\xi_{\rm max}$)/ μ efetuando-se diretamente o cálculo $\frac{\Delta B}{B}$ para $B=B_{\rm max}$.

As figuras (22) e (23) mostram os resultados de ΔBxB obtidos a temperatura ambiente, em amostras de $1^{\frac{a}{2}}$ e $2^{\frac{a}{2}}$ s $\underline{\tilde{e}}$ ries respectivamente. Todas as medidas de "after effect" foram obtidas seguindo o procedimento acima, portanto os resultados são comparáveis.

Para as medidas de $\frac{\Delta\mu}{\mu}$ em função da temperatura foi construído um forno resistivo de Cantal que permite fazer medi

das até a temperatura de 800°C. Este forno é constituído por un tubo de quartzo com diâmetro interno ~ 2 cm e com comprimento de 100 cm, enrolado com uma resistência de Cantal, isolado com camada espessa de lã de rocha.

A resistência é enrolado em torno do tubo de modo a anular o campo magnético no seu interior, quando nela é aplicada corrente. Foi verificado que a temperatura é uniforme na parte central do tubo, num intervalo $\simeq 15$ cm. Foram feitas medidas de $\frac{\Delta\mu}{\mu}$ em função da temperatura entre a temperatura ambiente e a de Curie em todas as amostras da $1^{\frac{3}{2}}$ e $2^{\frac{3}{2}}$ séries. A razão de aquecimento foi de 1° C/min. Para evitar a oxidação das fitas, as medidas foram efetuadas sob atmosfera de argônio. Os resultados destas medidas são mostradas nas figuras (24) e (25).

A temperatura de cristalização de todas as amostras em estudo foram determinadas pelo método convencional DSC, com a razão de aquecimento de 30 °C/min. Um dos exemplos dessas medidas está mostrada na figura (26). Só foi possível realizar essas medidas graças à colaboração do Prof. Dr. Osvaldo Alves do Instituto de Química da Unicamp.

III.5. Resultados e Discussão

A figura (22) mostra uma série de medidas de ΔΕΧΕ, que é equivalente Δμχμ, à temperatura ambiente, produzidas com diversos valores de pressão de ejeção do argônio e mantendo os outros parâmetros.

A figura (23) é o resultado de uma série de amostras, onde as fitas amorfas foram produzidas em outra condição

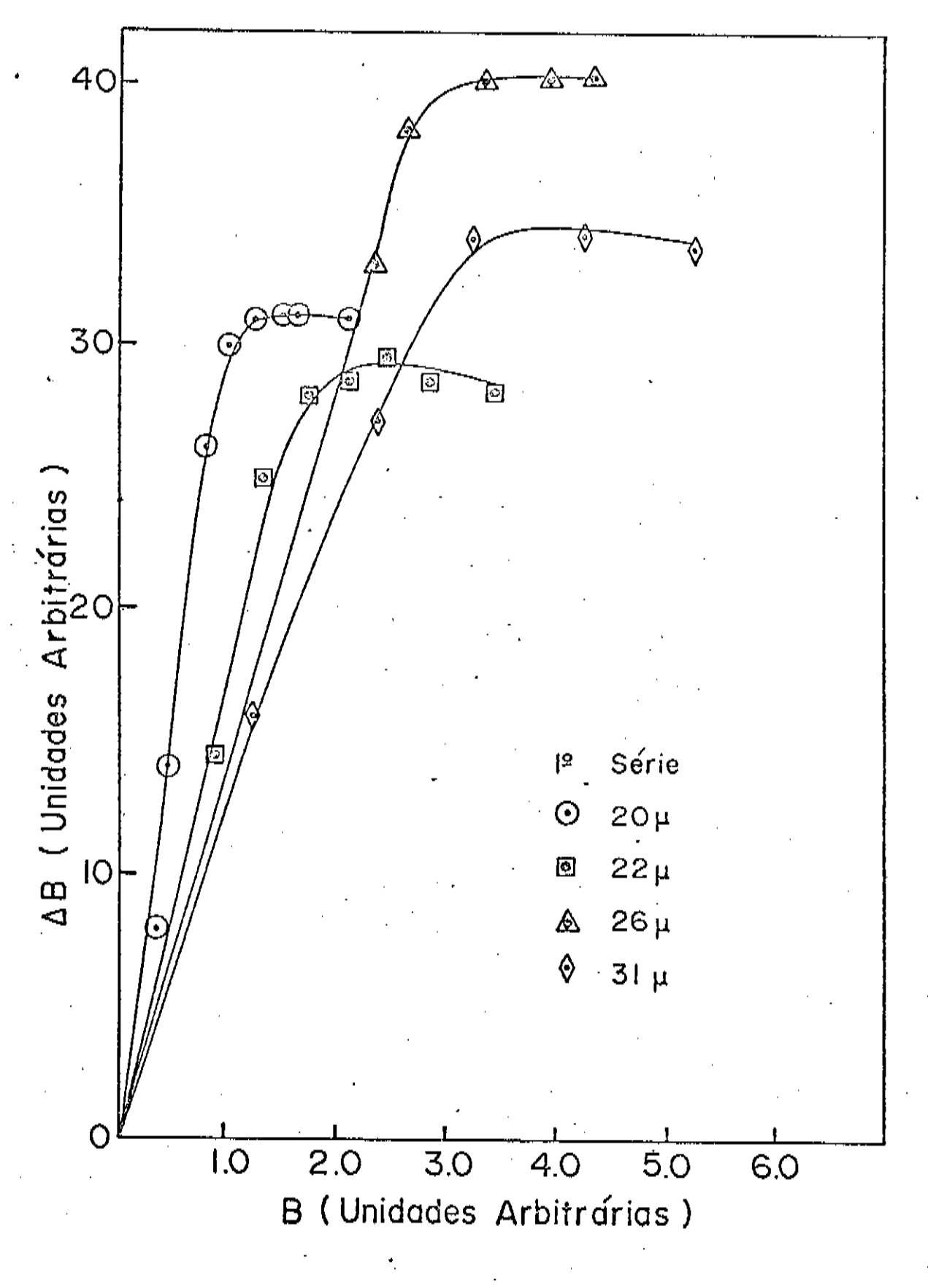


Figura (22). Desacomodação da indução ΔB em função da indução B na l^a série de amostras.

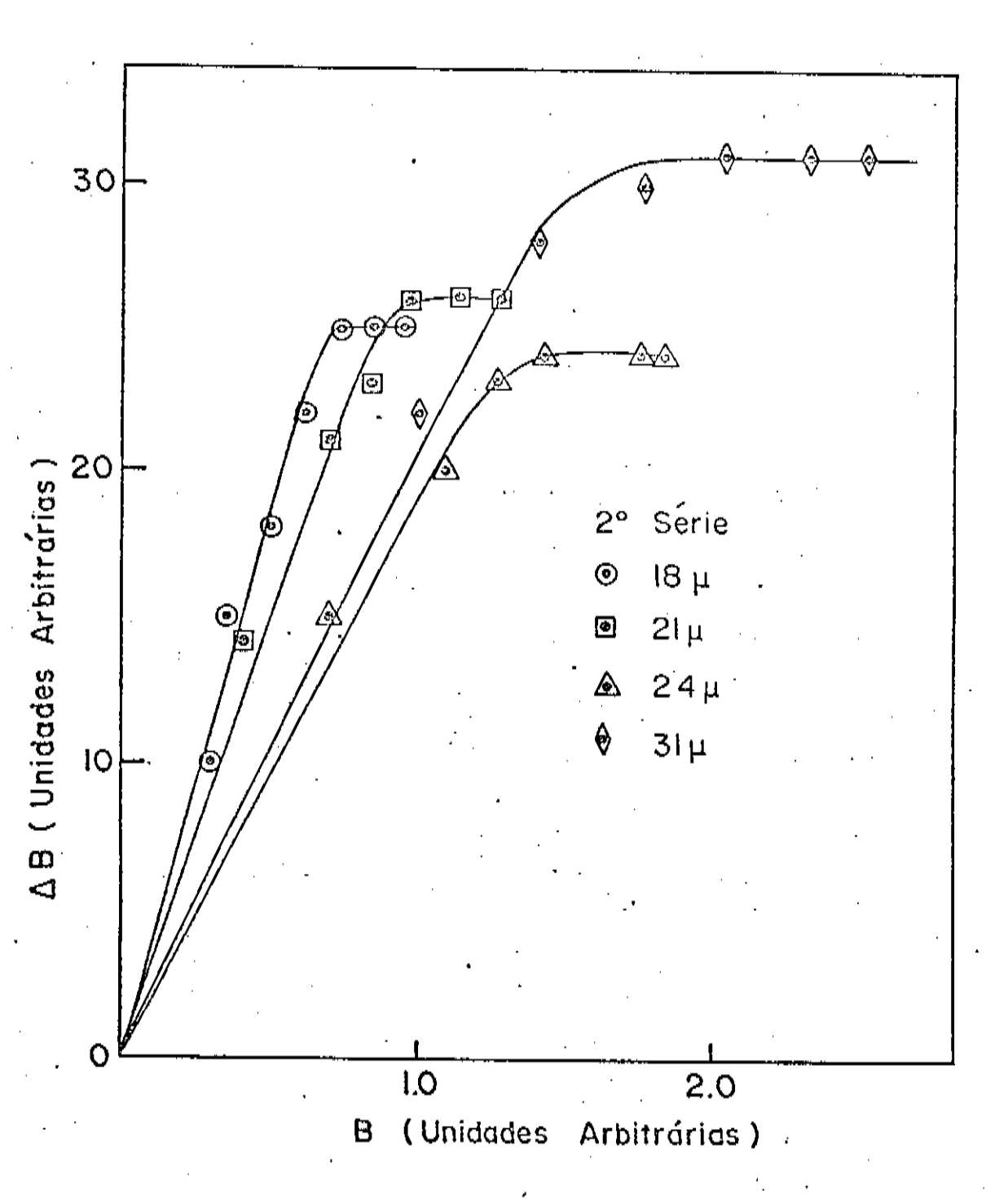


Figura 23. Desacomodação da indução ΔB em função da indução B na $2^{\frac{\Delta}{2}}$ série de amostras.

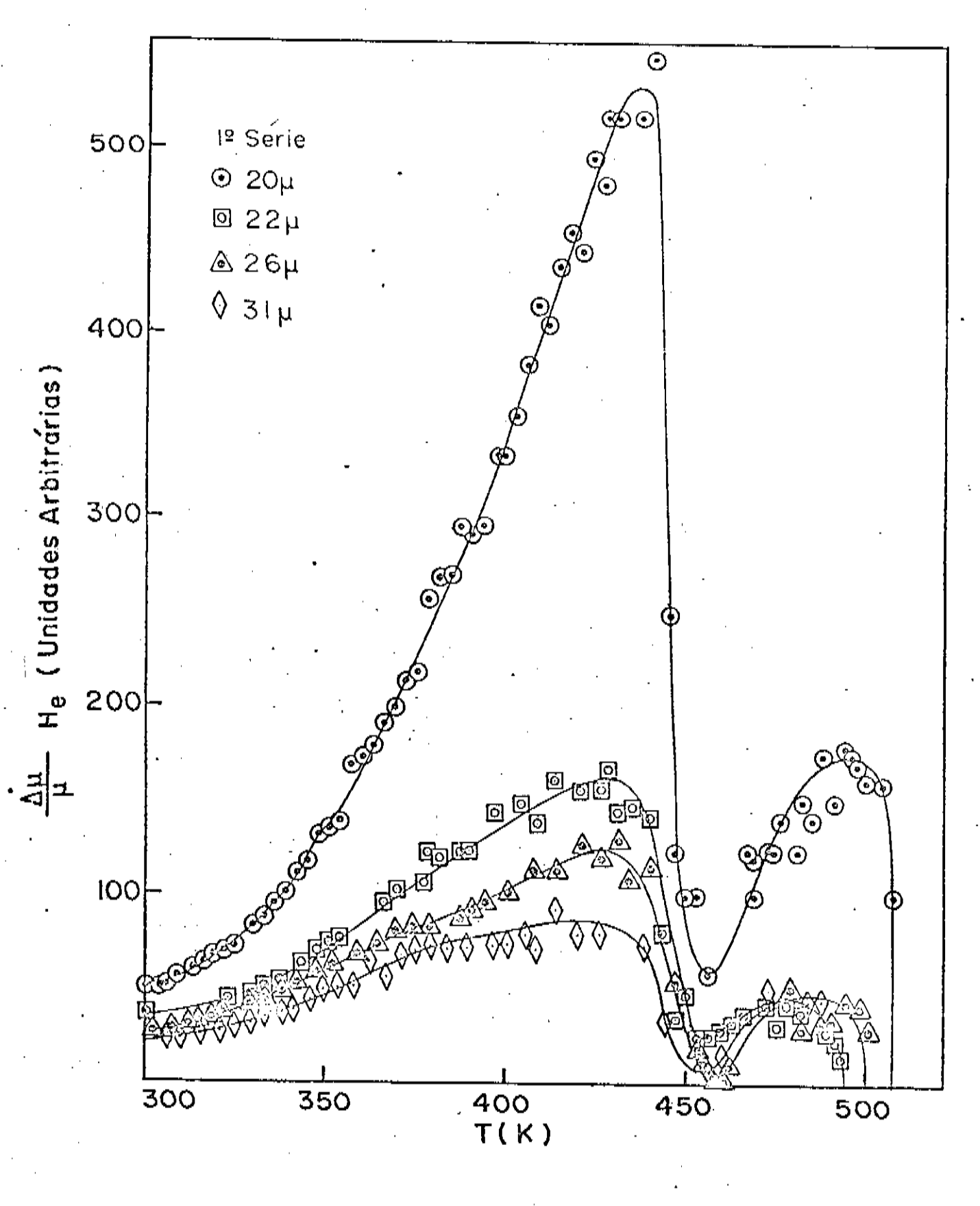


Figura 24. "After effect" da permeabilidade magnética em função da temperatura na l $^{\underline{a}}$ série de fitas.

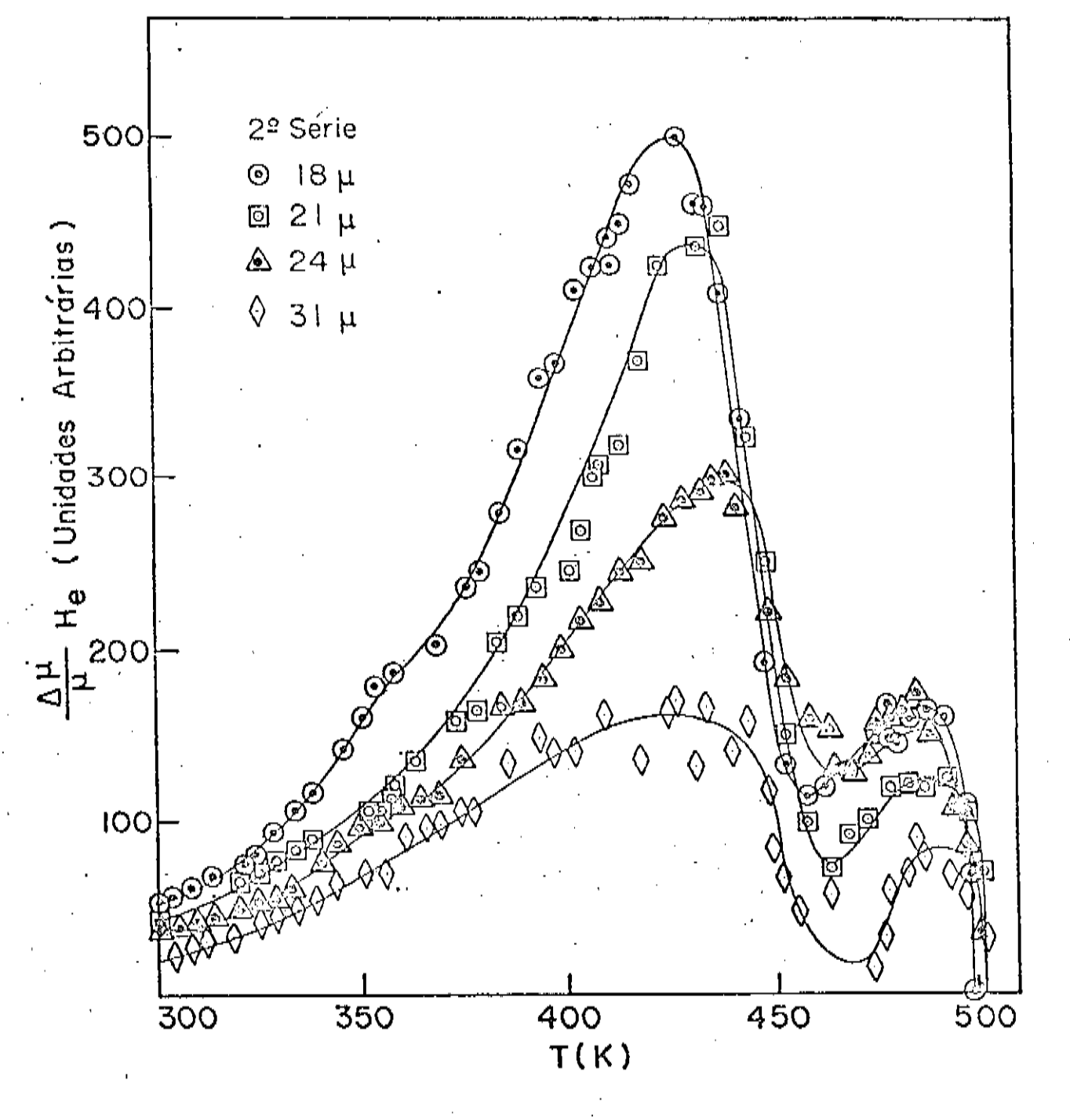


Figura 25. "After effect" da permeabilidade magnética em função da temperatura na $2^{\frac{a}{2}}$ série de fitas.

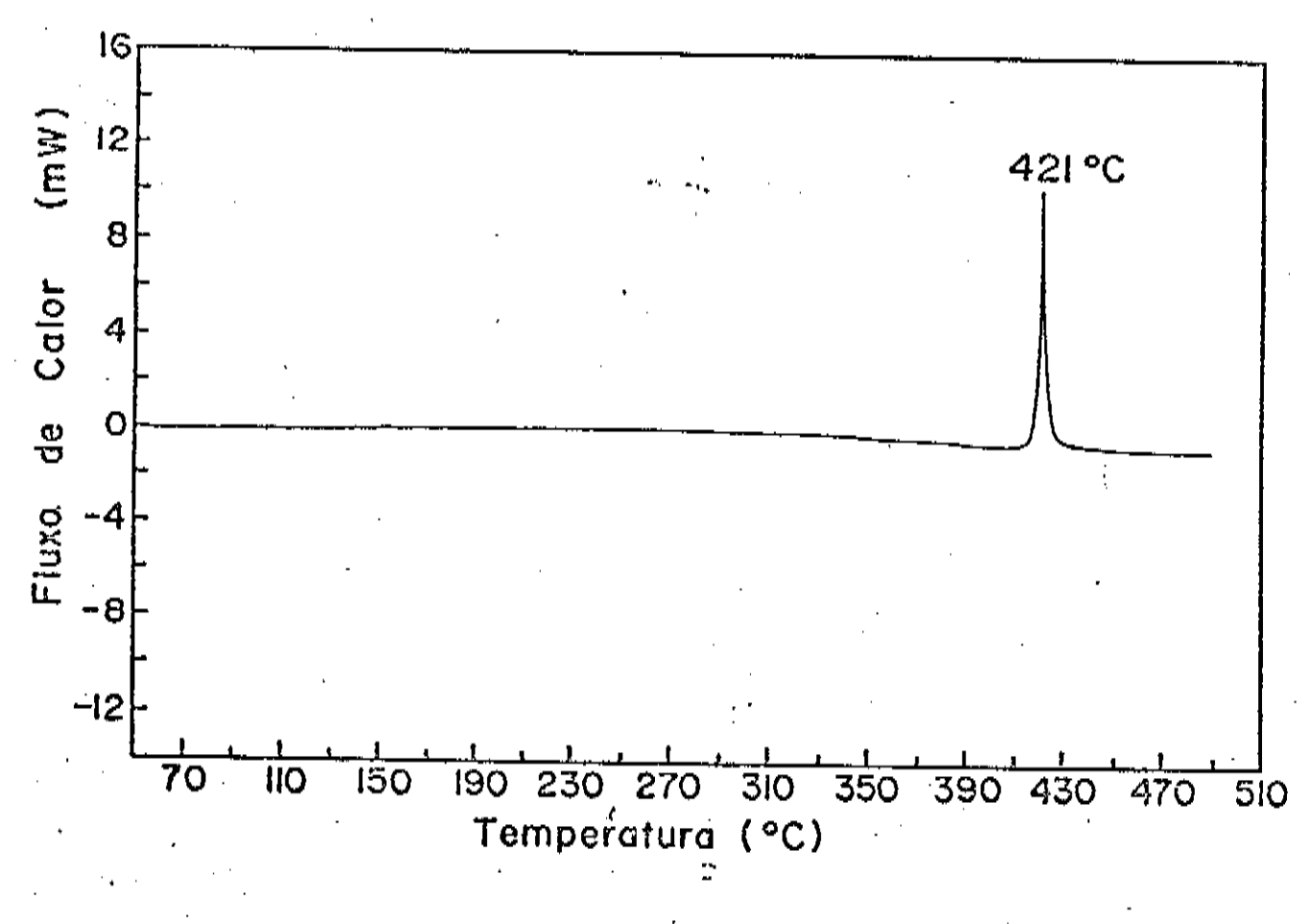


Figura 26. DSC para a amostra de 20 μm da 1 $\frac{a}{2}$ série.

de experiência, isto é, variando a velocidade da roda e manten do a pressão e os outros parâmetros constantes. Como já é esperado, com o aumento da espessura das fitas a posição do máximo se desloca para valores altos de B.

A intensidade do "after effect" da permeabilidade magnética $\frac{\Delta \mu}{\mu}$ H_e em função do inverso da espessura das fitas e mostrada na figura (27). Pode-se verificar que $\frac{\Delta \mu}{\mu}$ H_e cresce linearmente com 1/t, $^{(28,29)}$ independente dos parâmetros ajustáveis do "melt spinner". Os fenômenos de relaxação observados a baixas temperaturas são reversíveis e estão estritamente li-

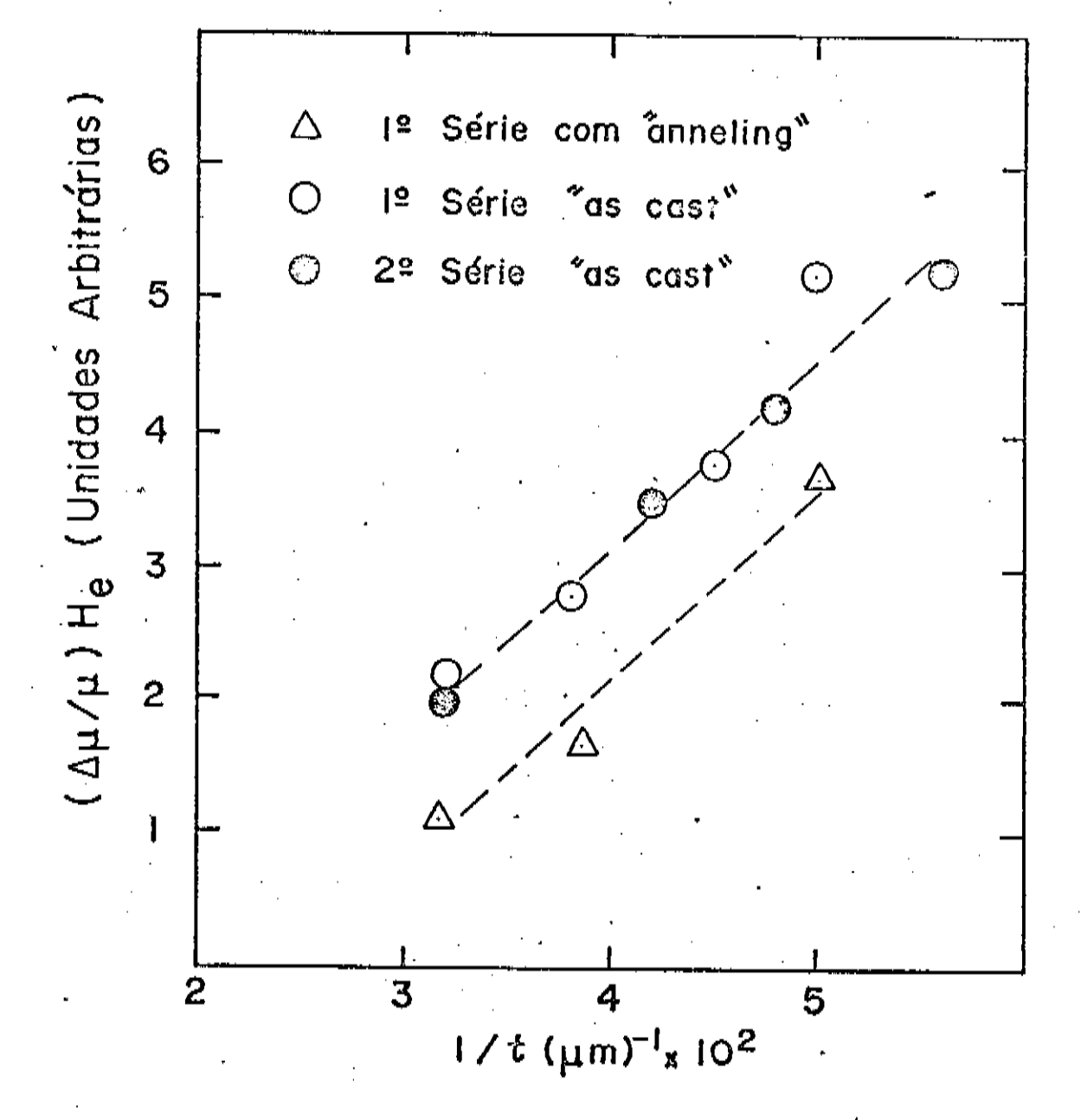
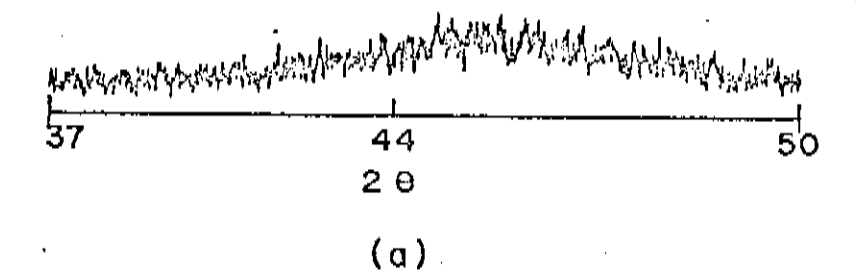


Figura 27. "After effect" em função do inverso da espessura à temperatura ambiente.

gados aos processos de ativação que dependem do grau de desordem estrutural proveniente das diferentes velocidades de resfriamento. Isto é consistente pois o efeito do tratamento tér mico (neste caso, subida linear de $1^{\rm O}$ C/min até a temperatura de Curie) sobre o "after effect" é a diminuição da sua intensidade como mostrada na figura (27), devido à redução da mobilidade e do número total de defeitos ${\rm N}_{\rm T}$, que participam no processo de ativação. A redução de ${\rm N}_{\rm T}$ está associada com a redução de volumes livres ${\rm N}_{\rm T}$, o que pode ser explicado em termos de reordenamento atômico na matriz amorfa.

O volume livre V_f é diretamente proporcional à velocidade de resfriamento $^{(30)}$, portanto 1/t. Logo $\frac{\Delta \mu}{\mu}$ H_e é proporcional à V_f . Esta proporcionalidade foi provada experimentalmente, através das medidas conjuntas de resistividade e "after effect", na referência (29).

Os valores de "after effect" em função de 1/t para fitas com tratamento térmico foram incluidos na figura 27. Notese que só foram obtidos com algumas fitas da $1^{\frac{3}{2}}$ série, pois as restantes tornaram-se cristalinas após o primeiro ciclo de medidas. Isto foi comprovado através das medidas de raio X mostradas nas figuras 28 e 29, com aparecimento de picos bem definidos nos seus espectros de difratometria. A cristalização dessas fitas se deve ao fato que não foram tomados os mesmos cuidados após o ciclo de medidas $\frac{\Delta\mu}{\mu}$ x T, isto é, para algumas fitas após o desligamento do forno, o fluxo de gãs de argônio foi mantido



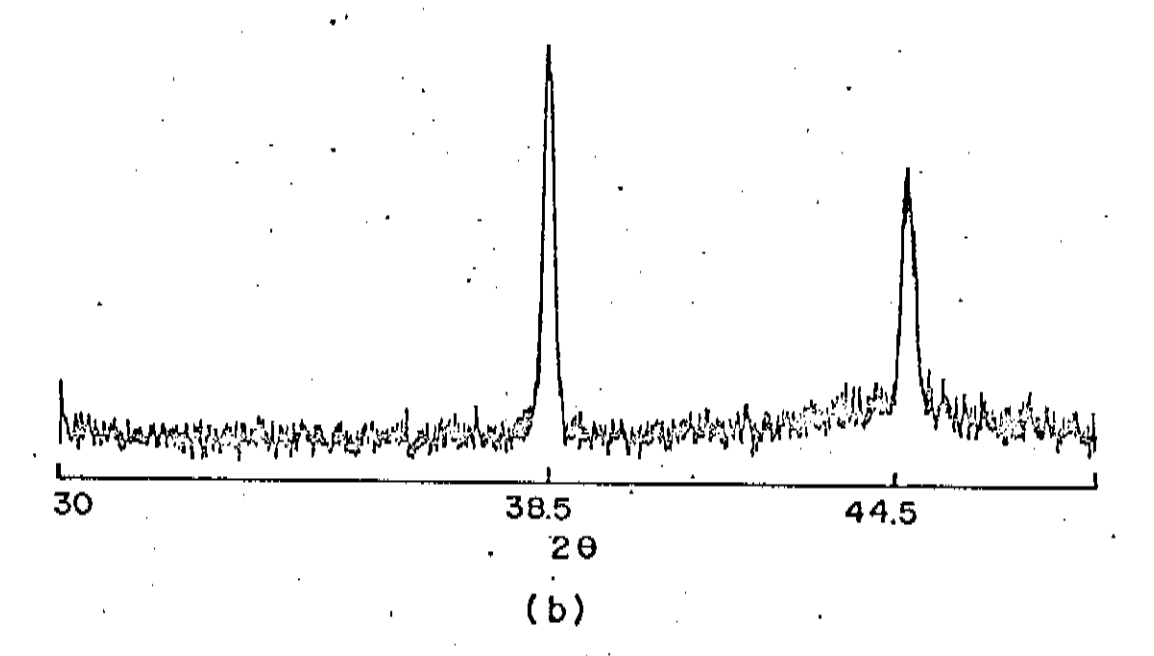


Figura 28. Espectros de raio X para as fitas a) t = 26 μm e t = 22 μm , após o tratamento térmico.

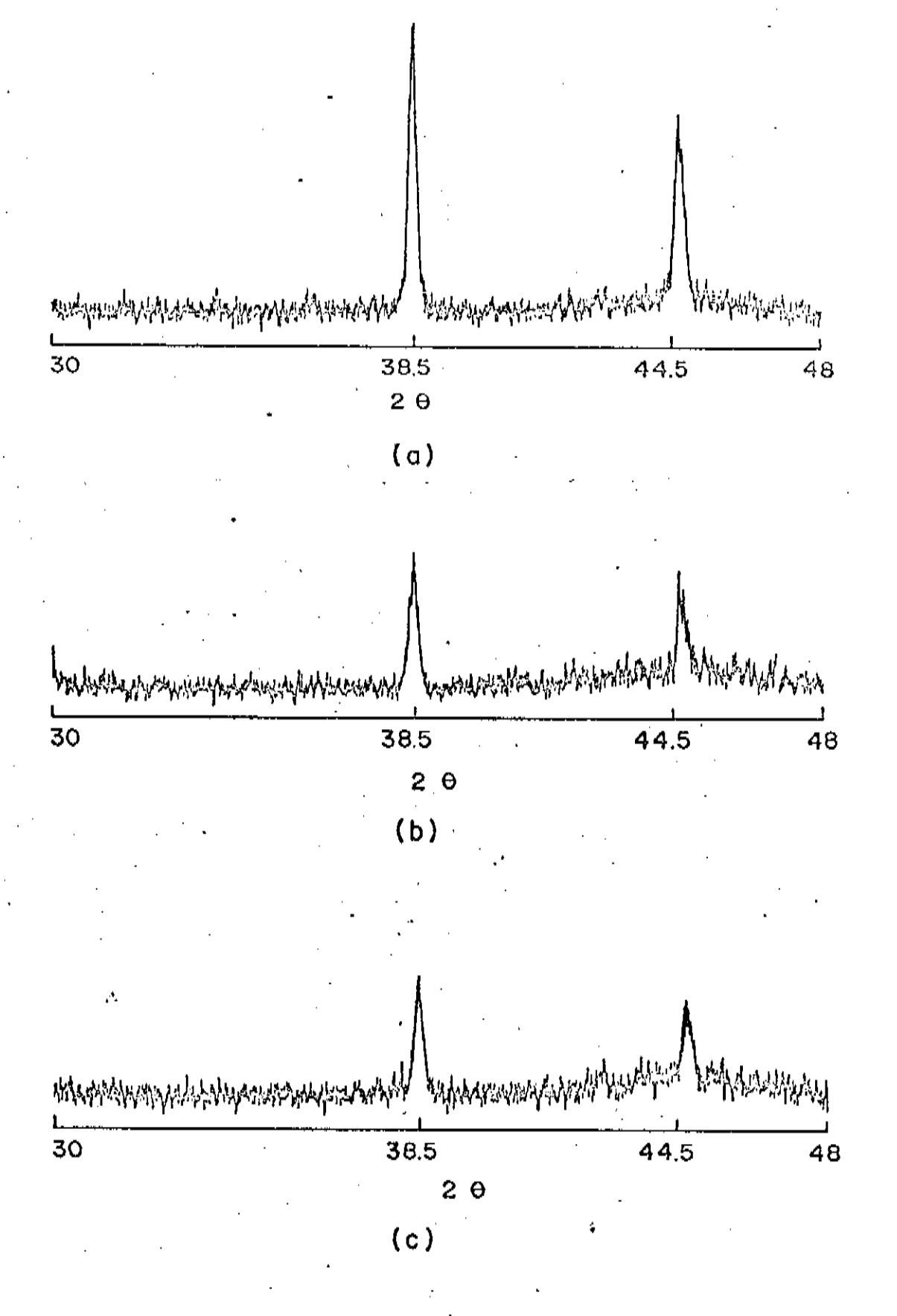


Figura 29. Espectros de raio X para as fitas: a) t = 18 μm , b) t = 21 μm , c) t = 24 μm da $2^{\frac{a}{2}}$ série após o tratamento térmico.

até o seu resfriamento e para outros não.

As figuras (24) e (25) mostram os espectros de "after effect" em função da temperatura no intervalo $T_{amb} < T < T_{Curie}$, para as amostras de $1^{\frac{a}{2}}$ e $2^{\frac{a}{2}}$ série, respectivamente. Ambas apresentam 3 regiões características:

a) A primeira região I: T < 350 K

Nesta região o processo de relaxação é reversível e o comportamento $(\frac{\Delta\mu}{\mu})$ H_e em função da temperatura é o mesmo para todas as amostras. A expressão para o "after effect" é dada pela equação (31):

$$\frac{\Delta \mu}{\mu}$$
 H_e $\alpha \frac{\lambda_s^2 < \tau^2}{1_s kT} < N >_T$

Nesse caso o processo é dominado principalmente pe la distribuição do número total de defeitos ${\rm N>}_{\rm T}$ que participam no processo de ordenamento. Esta distribuição é dada pela equação (32).

b) A segunda região II é a região correspondente ao intervalo de 350 K < T < 450 K. Nesta região, todas as curvas das figuras (24) e (25) apresentam um máximo em torno de 420 K. O aparecimento do máximo é devido à aniquilação de volumes livres por relaxamento estrutural, causada pelo aquecimento durante as medidas e que acontece para tempos menores que aqueles observados pelo o sistema de medida. Se as condições da experiência são as mesmas para todas as medidas, a localização do máximo está estritamente ligada ao valor efetivo da energia de ativação dos processos responsáveis para o efeito irrever-

sível de relaxação estrutural no estado amorfo.

c) A terceira região III corresponde ao intervalo entre $450~{\rm K} < {\rm T} \leqslant {\rm T}_{\rm Curie}$. A partir da temperatura T ~ $450~{\rm K}$, nota-se um aumento na intensidade ($\frac{\Delta \mu}{\mu}$ H_e) até a temperatura de Curie onde o material passa a ser paramagnético. Este aumento da permeabilidade pode estar relacionado com o rearranjamento dos átomos de metaloides que ocupam sitios intersticiais de átomos de Fe e Ni, ou então com o estabelecimento de uma desor dem das configurações preferenciais de par para altas temperaturas. A não inclusão de P ou de Ni e P nas ligas faz desapare cer este segundo pico como mostram a figura 30(a) e 30(b). A fita de Fe $_{80}$ B $_{20}$ foi produzida em nosso laboratório.

Comparando-se os resultados da figura (24) com os da figura (25), verifica-se que existem algumas diferenças en tre as regiões II e III.

Na região I, onde o processo reversivel é dominado pela relaxação, como já esperado pelas análises feitas anteriormente, obteve-se um comportamento semelhante para as duas séries, isto é, $\frac{\Delta \mu}{\mu}$ é proporcional à l/t), tendo os mesmos coeficientes angulares. Entretanto, para região de altas temperaturas (II e III), onde já existe o relaxamento irreversivel, as duas séries de medidas apresentam resultados diferentes (ver tabelas 3 e 4) que são os seguintes:

a) A intensidade máxima de "after effect" $(\frac{\Delta \mu}{\mu} \times H_e)_{max}$ em função de 1/t (ver figura 31)). O coeficiente angular da representação as intensidades são maiores para as medidas obtidas com fitas da $2^{\frac{a}{4}}$ série.

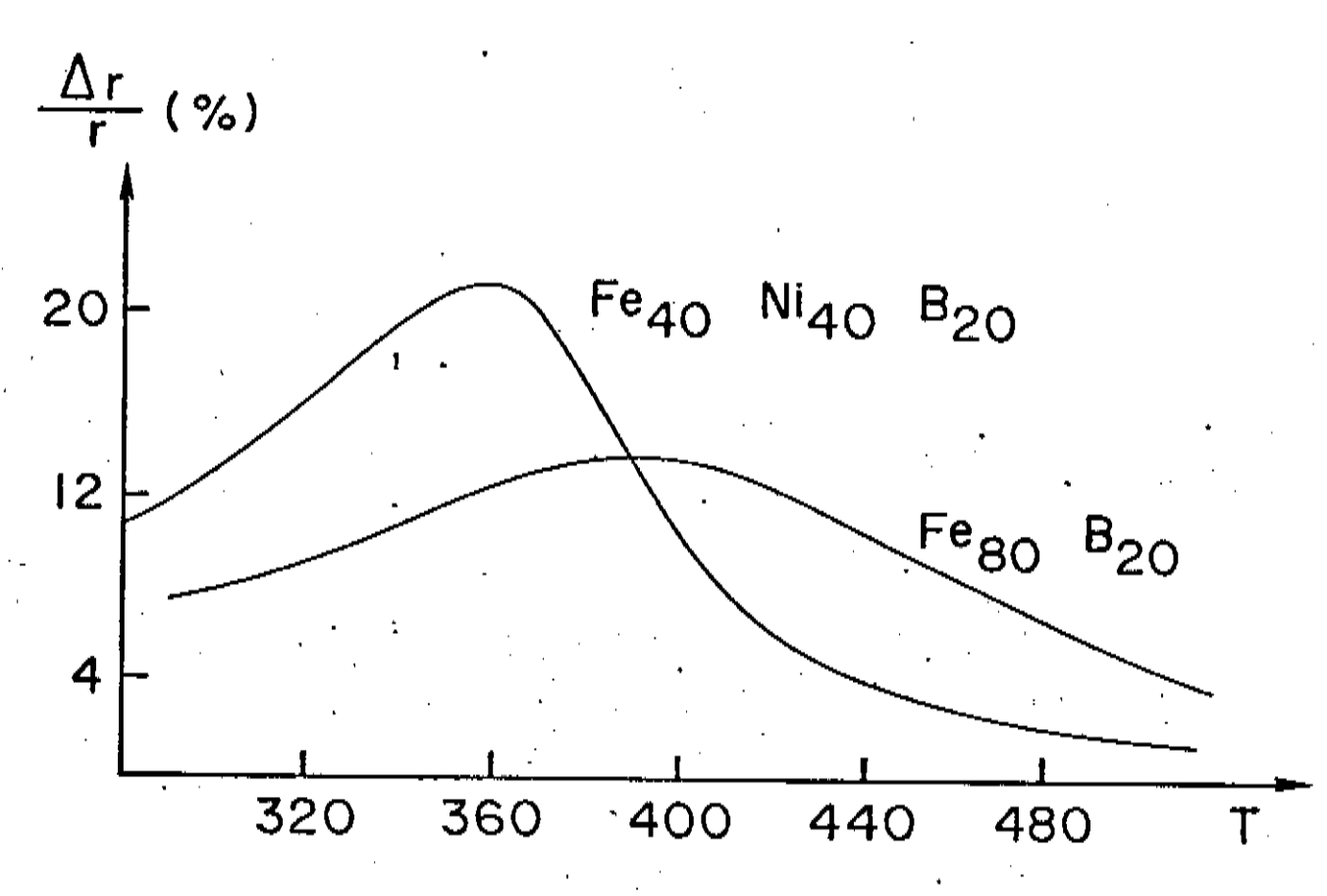


Figura 30a. $\frac{\Delta r}{r}$ ($r = \frac{1}{x}$) em função da temperatura em $Fe_{40}^{Ni}{}_{40}^{B}{}_{20}$ e $Fe_{80}^{B}{}_{20}$ para $t_1 = 1$ se $t_2 = 180$ s. (Referência 31, modificada).

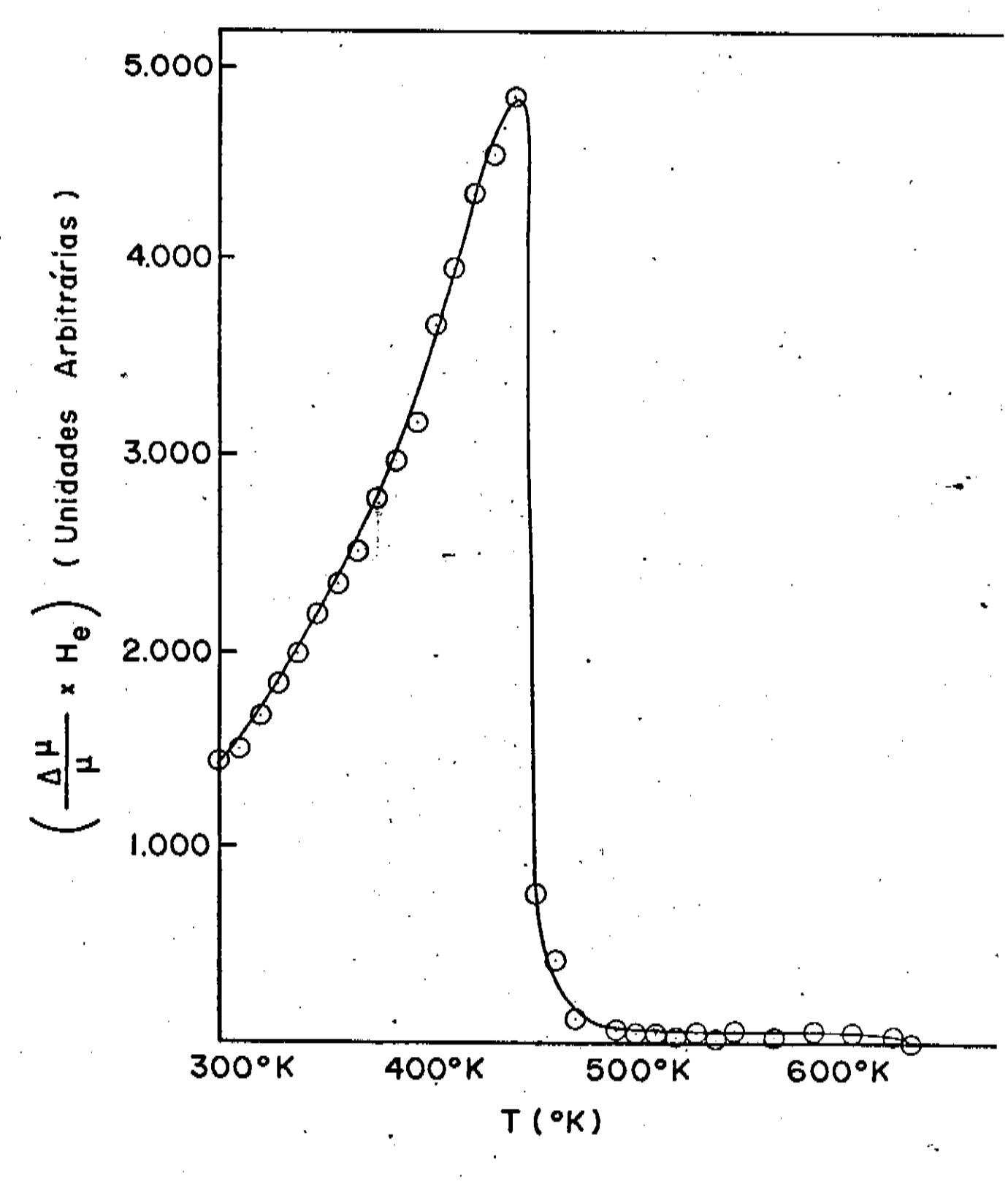


Figura 30b. "After-effect" da permeabilidade magnética em função da temperatura para a fita de Fe₈₀B₂₀.

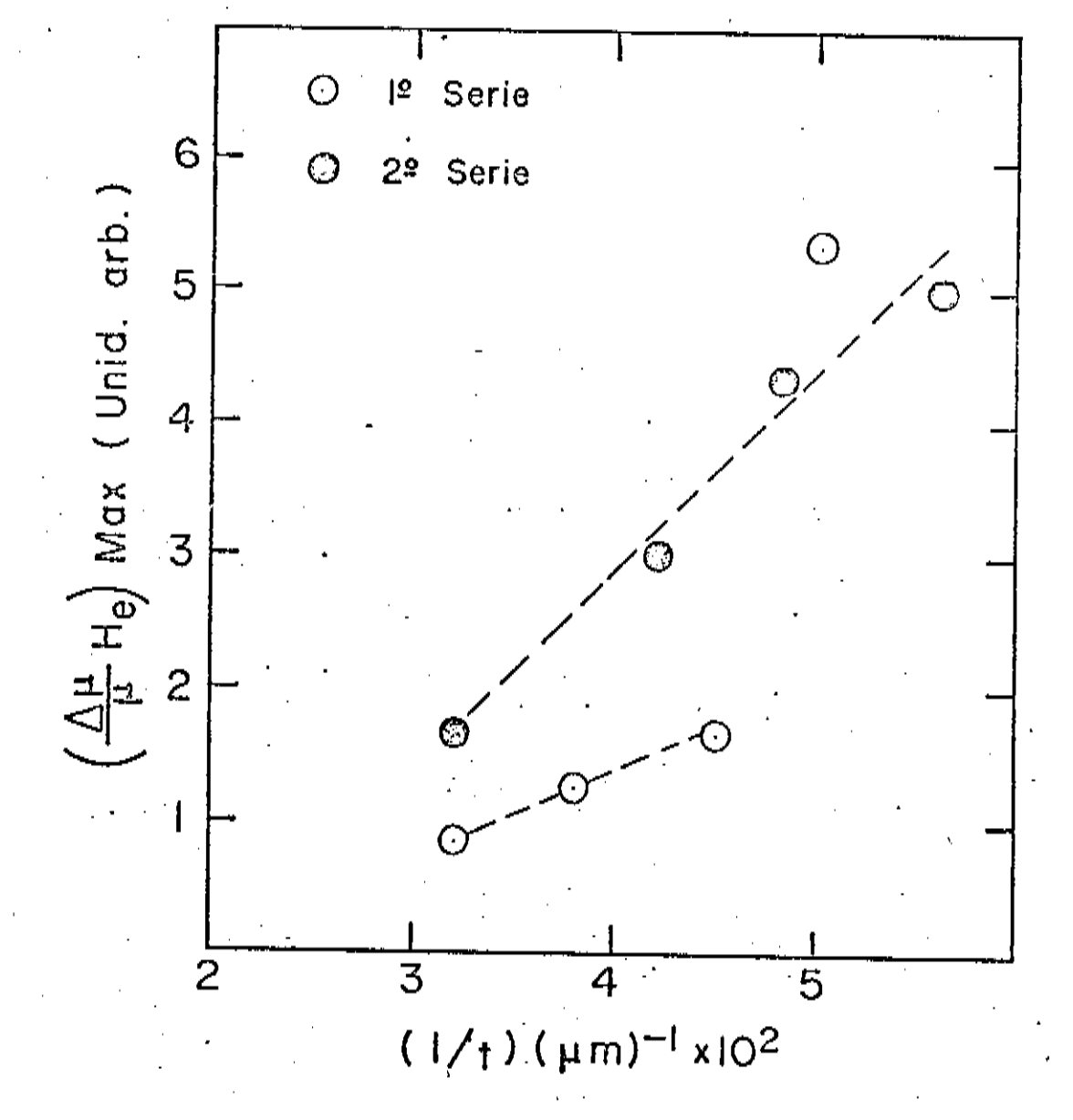


Figura 31. O "after effect" ((Δμ/μ)H_e)_{max} (intensidades māximas das curvas 24 e 25) em função do inverso da espessura das fitas.

Espessura (µm)	т м (К)	т _с (К)	T X (K)
20,0±0,5	437±3	509±2	69441
22,0±0,5	427±3	492±2	698±l
26,0±0,5	432±3	502±2	696±1
31,0±0,5	425±5	492±2	698±1

Tabela 3. Temperaturas relevantes em fitas amor fas produzidas com ΔP diferentes (1 $\frac{a}{a}$ série).

Espessura (µm)	^Т м (К)	Т _С (К)	т _ж (К)
18,010,5	427±3	·498±2	695±1
21,0±0,5	435±3	501±2	694±1
24,0±0,5	435±3	502±2	694±1
31,0±0,5	435±3	502±2	694±1

Tabela 4. Idem para fitas produzidas com V diferentes ($2^{\frac{a}{2}}$ série). As temperaturas de Curie T_c foram obtidas através das medidas de $\Delta u/u$ e as de cristalização T_v , através de DSC.

b) A temperatura T_M (que corresponde a posição do máximo da permeabilidade magnética) em função da espessura da fita. Na primeira série T_M varia arbitrariamente com a espessura to e na $2^{\frac{\alpha}{2}}$ série, T_M cresce com o aumento da espessura (ver figura 32) e os seus valores são em geral maiores para a $2^{\frac{\alpha}{2}}$ série.

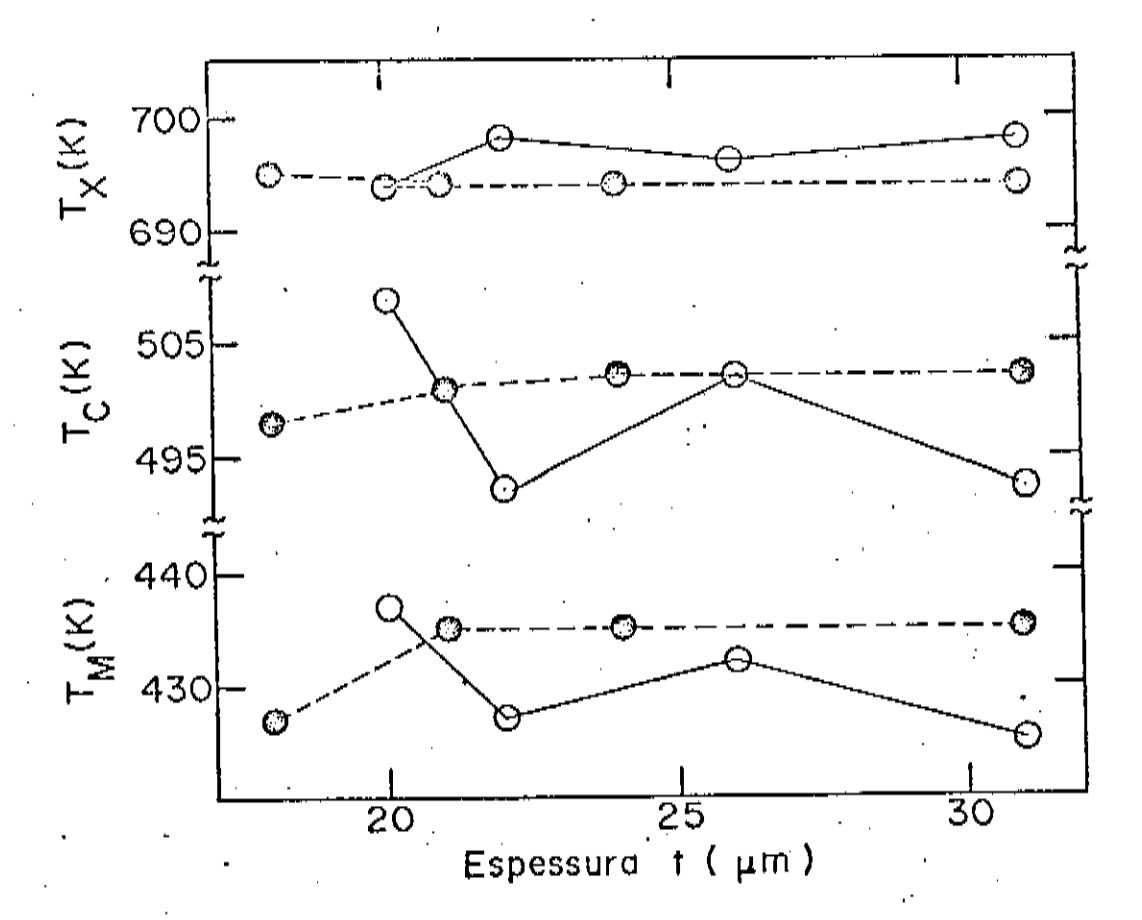


Figura 32. Variação de T_M, T_C, T_x com a espessura para fitas produzidas em condições diferentes (1ª série; 2ª série).

As linhas continuas e tracejadas apenas ligam os pontos.

c) As temperaturas de Curie T_c em função da espessura para as amostras produzidas com diferentes velocidades da roda, portan to da $2^{\frac{1}{\alpha}}$ série, foi observado o mesmo comportamento obtido por T. Misoguchi e seus colaboradores $^{(31)}$, isto é T_c cresce com a espessura. Para a $1^{\frac{1}{\alpha}}$ série a variação de T_c com t é arbitrária, o comportamento semelhante ao observado por S. Takayama e T. Oi $^{(32)}$ quando estudaram T_c em função da temperatura da liga fundida (ver figura 31).

Para averiguar se o comportamento de T_C em função da espessura é razoável, foram determinadas as temperaturas de cristalização T_X e os seus valores foram incluídos na figura 31. Foi verificado que a dependência entre T_C e T_X está de acor do com a referência (32).

Estes resultados indicam que as propriedades que dependem do processo de relaxação estrutural (irreversível) de pendem não somente da razão de resfriamento e de como ela foi variada. Isto pode ser comprovado analisando os resultados obtidos com as duas fitas de mesma espessura, porém produzidas por processos diferentes. Temos como exemplo as fitas de espessura 31 µm, uma da $1^{\frac{1}{\alpha}}$ série e outra da $2^{\frac{1}{\alpha}}$ série. A temperatura ambiente, onde o processo reversível é dominante, os valores de $\frac{\Delta\mu}{\mu}$ He são praticamente iguais para as duas fitas, ver figura (27), porém para altas temperaturas, onde começa a haver contribuição do processo irreversível, os valores de $\frac{\Delta\mu}{\mu}$ He, $T_{\rm M}$, $T_{\rm C}$ e $T_{\rm X}$ são diferentes. Verifica-se que a fita que apresenta maior valor de $(\frac{\Delta\mu}{\mu}$ He) max), apresenta também maior valor de $T_{\rm M}$ e $T_{\rm C}$ e menor valor de $T_{\rm X}$. A existência dessas diferenças entre essas duas fitas pode ser atribuida à existência de diferentes

valores de energia de ativação responsáveis pelo movimento dos defeitos estruturais para o estado amorfo mais estável em cada amostra aquecida, devido à diferentes condições de fabricação. A fita produzida com velocidade constante de roda ($1^{\underline{a}}$ série), apresenta energia de ativação média menor que a da fita produzida com pressão constante de ejeção ($2^{\underline{a}}$ série) pois ($T_{\underline{M}}$) $1^{\underline{a}}$ série ($T_{\underline{M}}$) $1^{\underline{a}}$ série e a estabilidade da $1^{\underline{a}}$ série é maior que a da $1^{\underline{a}}$ série pois sua temperatura de cristalização é maior, adotando esse critério.

Esta interpretação pode explicar os diferentes com portamentos existentes entre as duas séries de fitas, isto é, as dependências entre as espessuras das fitas e T_M , T_C e T_X e as dependências entre T_M , T_C e T_X entre si.

Pela figura 32, podemos verificar que T_C cresce com a diminuição de T_X e isto está de acordo com o resultado obtido na referência (32). Esta figura mostra ainda que quando o valor de T_M cresce, o valor de T_C cresce e da T_X decresce. Este comportamento é consistente pois quando a amostra é submetida a tratamento térmico, há um deslocamento de T_M para a região de altas temperaturas e a temperatura de Curie também aumenta, co mo mostra a figura 33. Esta figura mostra também a diminuição dos valores $(\frac{\Delta\mu}{\mu})_{H_C}$ após o tratamento térmico. Destes resultados podemos concluir que os valores de T_M são realmente correlacionados com os valores de T_C e da energia de ativação. Isto é, quando aumentam T_M aumentam T_C e a energia de ativação independentemente da espessura.

Comparando-se as intensidades, por exemplo, das tem peraturas de cristalização nas duas séries, verifica-se que as da $1^{\frac{a}{2}}$ série, com exceção da fita com 20 μ m, apresentam valores maiores que as da $2^{\frac{a}{2}}$ série, portanto as fitas amorfas produzi-

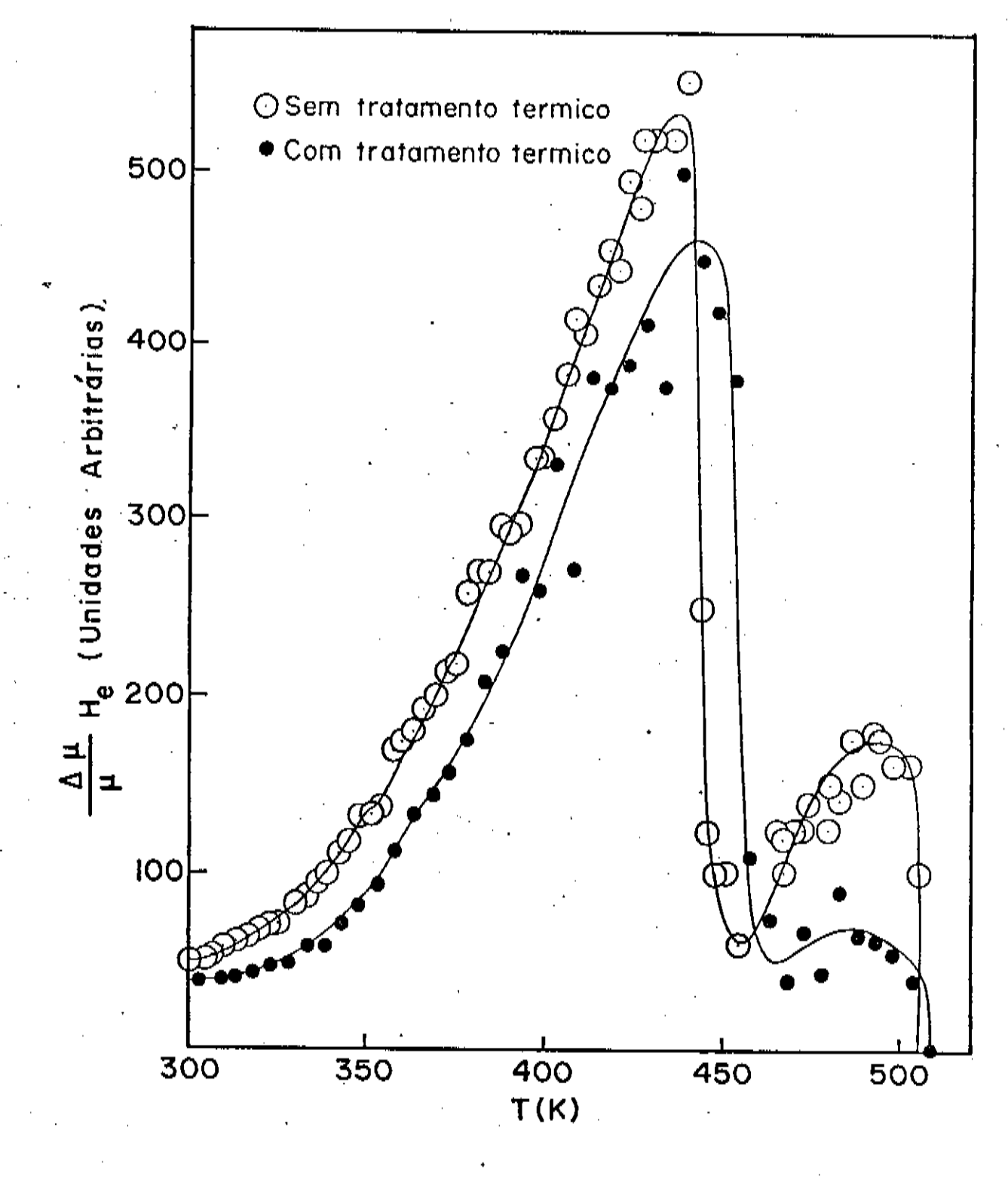


Figura 33. $\frac{\Delta\mu}{\mu}$ H em função da temperatura para amostra de 20 μ m, (1ª série).

das com pressão de ejeção mais alta em geral são mais estáveis. O grau de estabilidade parece estar relacionado com o grau de oxidação. Como todas as fitas são produzidas em atmosfera normal, o grau de oxidação deve depender da pressão de ejeção, sendo menor para as fitas produzidas com alta pressão de ejeção.

IV. Conclusão

Inicialmente foi construída uma máquina para obten ção de fitas metálicas amorfas pela técnica de resfriamento rápido por ejeção de liga fundida sobre uma superfície resfriadora em movimento, para estudar a sua estabilidade.

A máquina opera em atmosfera normal e foi testada com várias ligas de composições do tipo metal-metalóide. As amostras são obtidas na forma de fitas contínuas com espessuras variando de 16 a 40 μm, larguras de 1 a 2 mm e comprimentos de alguns metros. Estas dimensões são controladas pelos principais parâmetros da máquina: velocidade angular da roda, pressão de ejeção e diâmetro do orifício de ejeção. Para a liga de Fe₄₀Ni₄₀P₁₄B₆, foi verificado que a espessura da fita é diretamente proporcional à raiz quadrada da pressão de ejeção e inversamente proporcional à velocidade tangencial da roda, dentro das investigações consideradas.

Foram analisadas por difratometria as`fitas para assegurar a sua amorficidade e foram consideradas amorfas aque les que não apresentaram picos bem definidos no seu espectro de difração.

Para estudar a estabilidade das ligas ferromagnét<u>i</u> cas amorfas de Fe₄₀Ni₄₀P₁₄B₆, foram produzidas duas séries de fitas obtidas em condições diferentes e nelas foram efetuadas medidas de "after effect" da permeabilidade magnética entre a temperatura ambiente e de Curie. Para isso foi construído um forno resistivo que permita fazer as medidas neste intervalo de temperatura.

Os resultados mostram que o "after effect" nas li-

gas amorfas é sensível às mudanças das propriedades estruturais provocadas ou pelos sucessivos tratamentos térmicos, ou pelas diferentes velocidades de resfriamento. Foi verificado que, à temperatura ambiente, a relação entre as intensidades de $\Delta\mu/\mu$ obtidas com a fita de espessura 18 μ m e de 31 μ m é aproximadamente de 2,5. Foi verificado também que quando a amostra é submetida ao tratamento térmico apresenta uma redução na intensidade de $\Delta\mu/\mu$ de aproximadamente 20%.

Para todas as amostras estudadas, o comportamento da curva $\frac{\Delta\mu}{\mu}$ x T são semelhantes. Na região de temperaturas T < 350°C onde o fenômeno de relaxação é reversível, o "after effect" da permeabilidade magnética é diretamente proporcional ao inverso da espessura e para as temperaturas maiores que 350°C há diferentes contribuições de processos irreversíveis que dependem não só da velocidade de resfriamento mas também da maneira como foi produzida a amostra e isto resulta nos diversos valores de T_M e T_C . Foi verificado que existe uma certa correspondência no comportamento de T_M e T_C , T_C e T_X , portanto T_M e T_X independente da espessura da fita metálica amorfa. Isto significa que analisando o posicionamento da máxima permeabilidade pode obter informação sobre a temperatura de Curie e de cristalização e consequentemente sobre a sua estabilidade.

BIBLIOGRAFIA

- P. Allia e F. Vinai, Colloque C8, Supplément au nº 8, Tome 41, C8-654, (1980).
- 2. P. Allia, P. Mazetti, G.P. Soardo, F. Vinai, J. Magn. Magn. Mat. 15-18, 1361 (1980).
- 3. P. Allia e F. Vinai, Phys. Rev. B33, 1, 422 (1986).
- 4. H. Knonmüller, Phil. Mag. B, 48, 2, 127 (1983).
- 5. H.H. Liebermann e C.A. Grahm Jr., IEEE Trans. Magn. MAG-12, 6, 921 (1976).
- 6. S. Takayama e T. Oi, J. Appl. Phys. 50, 7, 4962 (1979).
- 7. G.S. Cargill III, J. Appl. Phys. 41, 2248 (1970).
- 8. D.E. Polk, Act Met. 20, 485 (1972).
- 9. D. Turnbull, J. de Physique 35, C 4-1 (1974).
- 10. S.R. Nagel e J. Tauc, Phys. Rev. Lett. 35, 380 (1975).
- 11. M. Hansen: Constitution of Binary Alloys, 250-McGraw Hill Book Company, Second Edition.
- 12. H.A. Davies, Revue de Chimie Minerale, 16, 349 (1979).
- 13. A.I. Gubanov Quantum Eletronic Theory of Amorphous Conductors, 71 Consultants Bureau Enterprises Inc. 1st. Edition (1965).
- 14. T. Egami Rep. Prog. Phys. 47, 1601 (1984).
- 15. T.R. Anthony and H.E. Dine, J. Appl. Phys. 50, 1, 245 (1979).
- 16. P.H. Shingu e R. Ozaki, Metall. Trans. A, 6, 33 (1975).
- 17. J.D. Livingston, Phys. Stat. Solid a, <u>56</u>; 637, 6 (1979).
- 18. L. Neel, J. de Physique et Radium, 12, 339 (1951).
- 19. L. Neel, J. de Physique et Radium 13, 251 (1952).
- 20. T.E. Gami, K. Maeda e V. Vitek, Phil. Mag. 41A, 883 (1980).

- 21. D. Srolovitz, T. Egami e V. Vitek, Phys. Rev. B24, 6936 (1981).
- 22. T. Egami e D. Srolovitz, J. Phys. F, Met Phys. <u>12</u>, 2141 (1982).
- 23. P. Allia, G. Soardo, F. Vinai, J. Magn. Magn. Mat. 31-34, 1527 (1983).
- 24. P. Allia, R. Sato Turtelli, F. Vinai, J. Magn. Magn. Mat., 39, 279 (1983).
- 25. P. Allia e F. Vinai, Phys. Rev. B, 26, 6141 (1982).
- 26. T. Egami, IEEE Trans. Magn. Mag. 17, 6, 2600 (1981).
- 27. P. Allia e F. Vinai, IEEE Trans. Magn. MAG-17, 4, 1481 (1981).
- 28. P. Allia, F.E. Luborsky, R.S. Turtelli, G.P. Soardo e F. Vinai, IEEE Trans. Mag. 17, 6, 2615 (1981).
- 29. P. Allia, G. Riontino, R.S. Turtelli e F. Vinai, Sol. Stat. Com. 43, 11, 821 (1982).
- 30. M.G. Scott, Proc. Conf. Rapidly Quenched Metals 3, 198 (1978).
- 31. H. Kronmüller, J. Magn. Mágn. Mat. 41, 366 (1924).
- 32. T. Misoguchi, S. Hatta, H. Kato, H. Arai, K. Maeda e N. Akutsu, IEEE Trans. Mag. MAG-16, 1147 (1980).
- 33. S. Takayama e T. Oi, J. Appl. Phys. 50, 1595 (1979).